

TARTU ÜLIKOOL  
LOODUS- JA TÄPPISTEADUSKOND  
FÜÜSIKA INSTITUUT

Helle-Mai Piirsoo

Nanostruktuurne kaitsekate alumiiniumsulamile AA6082

Magistritöö (30 EAP)

Materjaliteadus

Juhendajad:

MSc Maito Merisalu,

PhD Taivo Jõgiaas,

prof. Väino Sammelselg

Kaitsmisele lubatud (.....)

Juhendajad .....  
.....

allkiri, kuupäev

Tartu 2020

## **Nanostrukturue kaitsekate alumiiniumsulamile AA6082**

Käesolevas töös uuriti nanostruktuurseid katteid, mis valmistati kahes etapis, kombineerides anodeerimist eeltöötlusena ja saadud anoodse oksiidikihi täitmist ja katmist ZrO<sub>2</sub> aatomkihtsadestusega. Katete valmistamisel varieeriti aatomkihtsadestuse pulsiaega ja kasvutemperatuuri. Katete vastupidavust korrosioonile uuriti lineaarse voltamperomeetria meetodil. Kõvadus ja elastsusmoodul määratati nanotäkkimisega. Katteid karakteriseeriti veel skaneeriva elektronmikroskoopia, energiadispersiivse spektroskoopia, libiseva kiire röntgendifraktsiooni ja lainedispersiivse röntgenfluorestents spektroskoopia meetoditega. Madalamal temperatuuril aatomkihtsadestatud ZrO<sub>2</sub> oli amorfne ning nanostrukturue katte oli korrosionikindlam kui kõrgemal temperatuuril saadud tetragonaalse ZrO<sub>2</sub> struktuuriga katted. Lühemate pulssidega valmistatud nanostrukturuised katted olid kõvemad ja suurema elastsusmooduliga kui pikemate pulsside rakendamisel saadud katted.

**Märksõnad:** Anodeerimine, aatomkihtsadestus, nanotäkkimine, korrosioonikaitse

**CERCS kood ja nimetus:** T150 – Materjalitehnoloogia; T152 – Komposiitmaterjalid; T153 – Keraamilised materjalid ja -pulbrid; T155 – Pinded ja pinnatehnoloogia; T450 – Metallitehnoloogia, metallurgia, metallitooted; P250 – Tahke aine: struktuur, termilised ja mehaanilised omadused, kristallograafia, faasitasakaal; P401 – Elektrokeemia.

## **Nanostructured protective coating for aluminium alloy AA6082**

In this work nanostructured coatings fabricated by anodizing and atomic layer deposition of ZrO<sub>2</sub> were investigated. The pulse times and deposition temperatures were varied. The corrosion resistance of the coatings was determined by linear sweep voltammetry. Hardness and Young's modulus were determined by nanoindentation. In addition, the coatings were characterized by scanning electron microscopy and energy dispersive spectroscopy, grazing incidence XRD and wave dispersive X-ray fluorescence spectroscopy.

ZrO<sub>2</sub> atomic layer deposited at lower temperatures were amorphous and nanostructured coatings were more durable in corrosion tests than coatings with tetragonal ZrO<sub>2</sub> grown at higher deposition temperatures. Nanostructured coatings made using shorter pulse times were harder and with higher Young's modulus than coatings made with longer pulse times.

**Keywords:** Anodizing, atomic layer deposition, nanoindentation, corrosion

**CERCS codes and names:** T150 – Material technology; T152 – Composite materials; T153 – Ceramic materials and powders; T155 – Coatings and surface treatment; T450 – Metal technology, metallurgy, metal products; P250 – Condensed matter: structure, thermal and mechanical properties, crystallography, phase equilibrium; P401 – Electrochemistry.

## **Sisukord**

1.	Kasutatud lühendid ja tähisid.....	6
2.	Sissejuhatus .....	7
3.	Kirjanduse ülevaade .....	9
3.1	Alumiinumsulam AA6082-T6 .....	9
3.2	Anodeerimine .....	11
3.3	Tsirkoniumoksiiid .....	12
3.4	Aatomkihtsadestuse meetod .....	13
3.4.1	Tsirkoniumoksiiidi aatomkihtsadestus .....	13
3.5	Röntgendifraktsioon analüüs.....	15
3.6	Lainedispersiivne röntgenfluorestsents spektroskoopia.....	17
3.7	Elektrokeemilised korrosionitestid.....	19
3.9	Nanotäkkimine .....	21
3.10	Skaneeriv elektronmikroskoopia.....	23
4.	Probleemipüstitus .....	25
5.	Eksperimentaalne osa .....	26
5.1	Katete valmistamine .....	26
5.2	Röntgenfluorestsents-spektroskoopia.....	27
5.3	Röntgendifraktsioon analüüs.....	28
5.4	Nanotäkkimine .....	28
5.5	Skaneeriv elektronmikroskoopia.....	28
5.6	Elektrokeemilised korrosionitestid.....	28
6.	Tulemused .....	30
6.1	Eeltöötuse ja anodeerimise mõju sulamile AA6082 .....	30
6.2	Aatomkihtsatutud ZrO <sub>2</sub> mõju anodeeritud sulami pinnale.....	38

6.2.1 Zr sisalduse määramine AAO-s.....	38
6.2.2 Nanostruktuursete katete kaitsevõime uurimine.....	41
6.2.3 Nanostruktuursete katete mehaanilised omadused .....	44
6.2.4 Aatomkihtsadestuse temperatuuri mõju katete kristallilisusele.....	46
7. Tulemuste analüüs .....	47
7.1 Tööstusliku eeltöötuse mõju sulami pinnale .....	47
7.2 Tsirkooniummoksiidil põhinevad nanostrukttursed katted .....	48
7.2.1 Nanostruktuursete katete koostise sõltuvus sünteesi parameetritest .....	48
7.2.2 Nanostruktuursete katete kaitsevõime .....	49
8. Kokkuvõte .....	51
9. Nanostructured protective coating for aluminium alloy AA6082 .....	52
10. Viited.....	53
Lihtlitsents lõputöö reproduutseerimiseks ja üldsusele kätesaadavaks tegemiseks .....	61

## 1. Kasutatud lühendid ja tähised

AAO	anoodne aluminiuumoksiid – <i>anodic aluminium oxide</i>
ALD	aatomkihtsadestus – <i>atomic layer deposition</i>
CSM	pidev jäikuse mõõtmine – <i>continuous stiffness measurement</i>
CVD	keemiline aurufaasist sadestus – <i>chemical vapour deposition</i>
E	elastsusmoodul, Young’i moodul
$E_{\text{alg}}$ , $E_{\text{lõpp}}$	alg- ja lõpppotentsiaal
EDS	energiadispersiivne elektronsond mikroanalüüs – <i>energy dispersive X-ray microanalysis</i>
$E_{\text{korr}}$	korrosioonipotentsiaal
$E_{\text{punkt}}$	punktkorrosiooni potentsiaal
$E_r$	taandatud elastsustegur – <i>reduced modulus</i>
FIB	fokuseeritud ioonkiir – <i>focused ion beam</i>
GIXRD	libiseva kiire röntgendifraktsioon – <i>grazing incidence XRD</i>
H	kõvadus
IMÜ	intermetallilised ühendid
$I_{\text{korr}}/j_{\text{korr}}$	korrosiooni vool ja voolutihedus
j	voolutihedus
$K_c$	purunemissitkus
LSV	lineaarse voltamperomeetria – <i>linear sweep voltammetry</i>
OCP	avatud vooluringi potentsiaal – <i>open circuit potential</i>
SEM	skaneeriv elektronmikroskoop(ia) – <i>scanning electronmicroscopy</i>
$T/T_s$	temperatuur / sulamistemperatuur
WD-XRF	lainedispersiivne röntgenfluoresentsens spektroskoopia – <i>wave dispersive x-ray fluorescence spectroscopy</i>
XRD	röntgendifraktsioon – <i>X-ray diffraction</i>
$\alpha$	lineaarse soojuspaisumistegur
$\sigma_{\max}, \sigma_y$	tõmbetugevus, voolamispiir
$\sigma_s$	survetugevus

## **2. Sissejuhatus**

Alumiinumsulamid on laialt kasutusel nende hea mehaanilise tugevuse ja kerge kaalu tõttu [1]. Keskmise tugevusega ning lihtsasti töödeldavad AA6000–seeria sulamid leiaavad rakendust mitmetes tööstusharudes [1]. Suurima tõmbetugevusega on uuem sulam AA6082, mida kasutatakse sildade, kraanade, avamere ehitiste ja sõidukite kerede detailides, torustike ja seadme osadena, näiteks kirurgiaseadmetes, kateldes, soojusvahetites, kosmoseaparaatides, mootorites jm [1–14].

Alumiinumsulamite laialdast rakendamist piirab korrosioon [15–19]. Nende sulamite korrosionikindluse tõstmiseks kasutakse peamiselt anodeerimist, mille puhul muundatakse elektrokeemilise protsessi käigus sulami pind poorseks alumiiniumoksiiidkatteks [20–23]. See tõstab sulami korrosionikindlust, aga poorse struktuuri tõttu pole anoodne alumiiniumoksiiidist (AAO) kate piisavalt tõhus korrosiooni ärahoidmiseks [20–25]. Anodeerimine võib tõsta alumiinumsulami kõvadust ja kulumiskindlust [20–24]. Sulami AA6082 korrosionikindluse tõstmiseks on proovitud kasutada polümeerseid ja sool-geel tehnoloogial põhinevaid pinnakatteid [26–27]. Sulami pinna mehaanilisi omadusi on parandatud laser katmise ja plasmaelektrolüütilese oksüdeerimisega (*plasma electrolytic oxidation*) [28–29]. Kui õnnestuks luua mehaaniliselt vastupidavad katted AA6082 sulamile, oleks võimalik neid kasutada autotööstuses, et asendada seal kasutatavad terasdetailid kergsulamist osade vastu, k.a mootoridetailid [30].

Viimastel aastatel on korrosiooni pidurdamiseks proovitud kasutusse võtta atomkihtsade statud (ALD) keraamilisi kileid. Selle meetodiga loodud ühtlane ja defektivaba kile saab moodustada ioonbarjääri, mis takistab korrodeerivate ainete osakestel juurdepääsu metallini, ja kaitseb nii sulamit korrosiooni eest. Samuti on ALD oksiidkiledel ka head mehaanilised omadused, mis võivad tõsta ka detaili kulumiskindlust [31–33].

Aatomkihtsade stuse protsess võimaldab kasvatada kvaliteetseid ja homogeenseid kileid ka keerulise 3D struktuuriga pindadele, näiteks anodeeritud alumiiniumoksidi pooridesse [34–42]. Tartu Ülikooli kiletchnoloogia laboris on välja arendatud uudsed nanostruktuarsed oksiidkatted, milles on kombineeritud anodeerimisega loodud poorne aluskate, mis seejärel muudetakse ALD abil tihedaks komposiidiks ning mis edasise ALD protsessi käigus saab pindamise funktsionaalse nanokatte erinevatest metalloksiidide õhukestest kiledest moodustatud laminaadi abil [43]. Sellised kaitsekatted tõstavad alumiinumsulami AA2024 korrosionikindlust ja võimaldavad tõsta ka katte kõvadust [43–44].

Käesoleva uurimistöö eesmärk on valmistada sarnased nanostruktuursed komposiitkaitsekatted sulamile AA6082 ning uurida, kas ja kuidas on nende abil võimalik tõsta antud sulamist valmistatud detailide korrosionikindlust ja mehaanilist vastupidavust.

### 3. Kirjanduse ülevaade

#### 3.1 Alumiiniumsulam AA6082-T6

Seeria AA6000 alumiiniumsulamite põhilised lisandid on räni ja magneesium (Tabel 1). Neil sulamitel on võrreldes teiste alumiiniumsulamitega keskmise tõmbetugevuse, mis saavutatakse peamiselt mainitud Mg ja Si lisandite abil, mis moodustavad sulamis intermetallilise ühendi (IMÜ)  $Mg_2Si$ . Selle ühendi osakesed koonduvad termotöötuse käigus sulami kristalliitide piirpindadele, takistades nii dislokatsioonide liikumist sulami maatriksis ja sellega ka plastse deformatsiooni tekkimist (Joonis 1) [1–7]. Lisaks leidub sulamis AA6082 ka teisi intermetalliliste ühendite, näit.  $Al_6(Fe,Mn)$  ja  $Al(Fe,Mn)Si$  faaside segust moodustunud sisestusi [7–9].

**Tabel 1.** Alumiiniumsulami AA6082 elementkoostis, massi% [2–3].

Lisand	Si	Mg	Mn	Fe	Cr	Zn	Ti	Cu	Muu
Sisaldus	0,7–1,3	0,6–1,2	0,4–1	<0,5	<0,25	<0,2	<0,1	<0,1	<0,15

Märkus: Al sisaldus võrdub lahutades 100%-st lisandelementide kontsentratsioonide summa.

Sulami termotöötlus T6 sisaldab karastuse ja kunstliku vanandamise protsesse. Sulam kuumutatakse 500 °C juures kuni 1h, karastatakse vees ja vanandatakse 150 – 200 °C juures 5 – 18 h [10-13]. Sulami mehaanilised omadused on välja toodud tabelis 2. Sulamis esineva  $Mg_2Si$  faasi kõvadus ja elastsusmoodul on vastavalt 3,4 – 6,8 GPa ja 120 GPa [14].

**Tabel 2.** Alumiiniumsulami AA6082-T6 füüsikalised omadused [4].

Omadus	$\sigma_y$ (MPa)	$\sigma_{max}$ (MPa)	E (GPa)	H (GPa)	$T_s$ (°C)	$\alpha$ (1/K)
Suurus	250	290	70	0.93	555	$24 \times 10^{-6}$

Märkus: Tabelis kasutatavate tähistuste seletused on toodud lühendite lehel.

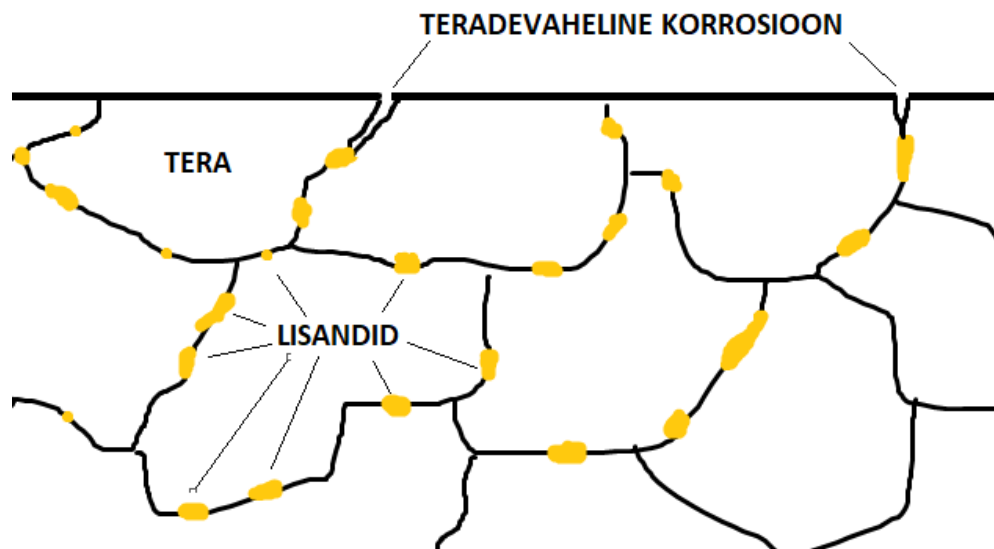
Sulamil AA6082 on suhteliselt hea korrosionikindlus võrreldes teiste tugevamate alumiiniumsulamitega, nagu näiteks 2000- ja 7000-seeria sulamid, milles esinevad peamiselt lokaalse galvaanilise korrosiooni probleemid. Siiski esineb korrodeeruvates keskkondades ka 6000-seeria sulamites probleeme punkt- ja teradevahelise korrosioniga [1, 15–19].

Punktkorrosioon on ohtlik korrosiooni vorm, sest seda on algfaasis visuaalselt raske märgata ja hinnata. Punktkorrosioon hakkab kulgema sulami pinnal leiduvates süvendites, milles on suurem positiivsete metalli ioonide kontsentratsioon kui ümbritsevas alas. Selle tulemusena muutub

süvend anoodseks, kus korrosiooni kiirus suureneb. Metalli passiivne katoodina käituv pind jäab puhtaks ja auk süveneb ainult pinna all. Seetõttu võib detail koormuse rakendamisel ootamatult puruneda [15–16].

Punktkorrosioon hakkab kulgema ka paikades, kus maatriksist elektrokeemiliselt aktiivsemad või passiivsemad IMÜ osakesed ulatuvad sulami pinnale. Aktiivsem osake hakkab elektrone ära andma, muutub anoodseks ning reageerib keemiliselt kuni lahustub elektrolüüsdis. Passiivsem osake muutub katoodseks ning ümbritsev anoodne maatriks lahustub. Kummagi juhul tekib sulami pinda süvend, millest saab punktkorrosioon edasi areneda [15].

Teradevaheline korrosioon on galvaaniline ja punktkorrosioon, mis kulgeb terade piirpindadel (Joonis 1). Alumiiniummaatriksi ja terade piiril välja sadenenedud sisestuste, lisandidest moodustunud IMÜ osakeste, millel on maatriksiga võrreldes erinev elektrokeemiline aktiivsus, vahel toimuvad elektrokeemilised reaktsioonid [15]. Korrosiooni ulatus sõltub sulami koostisest, näiteks tekib teradevaheline korrosioon 6000-seeria sulamites kui lisada sellele suhteliselt väikeses koguses vaske [17–19].



**Joonis 1.** IMÜ osakesed sulamis terade piiril kunstliku vanandamise järel ja teradevahelise korrosiooni kulgemine [7,15].

### 3.2 Anodeerimine

Alumiinumsulamite anodeerimisel muundatakse objekti pinnakiht elektrokeemiliselt poorseks anoodseks alumiiniumoksidiidiks. Anodeerimine viiakse läbi sobiva elektrolüüdiga, mis on reeglina vesilahus, anodeerimise vannis, kindlal temperatuuril, kus objektile rakendatakse anoodne ja terastest vannile katoodne potentsiaal [20–23].

Enne anodeerimist tehakse detailile mehaaniline eeltöötlus, nt poleerimine või klaaskuulitamine [24]. Seejärel viiakse läbi pinna keemiline puastus, kus eemaldatakse pinnalt orgaanilised jäädgid (rasvad, õlid, jm mustus), korrosioniprooduktid ja vähendatakse naturaalset oksiidkihti [20].

AAO koosneb paralleelsetest pooridest, mis on risti alumiinium substraadiga. Pooride diameeter jääb vahemikku 10 – 400 nm ja anoodse kihi paksused 0,01 – 150 µm [22]. Pooride läbimõõt ja katte paksus sõltub anodeerimise tingimustest (elektrolüüt, temperatuur, voolutihedus, aeg, vt. Tabel 3) [20,22]. Sõltuvalt sulamist ja anodeerimisel kasutatud parameetritest on võimalik parandada materjali vastupidavust korrosioonile, tõsta kulumiskindlust, suurendada kõdadust (2 - 20 GPa), parandada määarde omadusi ja värvitahvlit, elektrilist takistust või muuta lihtsalt detaili välimust (värvitahvlit, peegeldus-/hajutamisvõimet jm) [20,23]. Suurema korrosionikindluse saavutamiseks tuleb poorid sulgeda, et takistada korrodeerivate ainete ligipääsu sulamini. Keetes objekti 15 – 30 min vees konverteeritakse AAO selle pealispinnal, k.a. poorides, alumiiniumoksühdroksiidiks ( $\text{AlO(OH)}$ ), mille ruumala on suurem kui oksiidikihil ja mis seetõttu sulgeb nanopoored [20]. Siiski, vesises keskkonnas alumiiniumoksiid ja  $\text{AlO(OH)}$  transformeerub aegamööda  $\text{Al(OH)}_3$ -ks, mis vähendab AAO kihi korrosionikindlust [25].

**Tabel 3.** Anodeerimise tingimused ja neile vastavate oksiidkatete omadused [20].

Elektrolüüt	T (°C)	Pinge (V)	j (A/dm <sup>2</sup> )	Aeg (min)	AAO omadused
Kroomhape (3 - 10%)	32 – 35	< 42	0,1 – 0,3	30 – 40	Korrosionikindel
Väävelhape (12 - 20%)	20 – 30	< 24	0,6 – 2,4	< 60	Korrosionikindel, kulumiskindel, hea elektri isolaator
Väävelhape (10 - 20%)*	0 – 10	< 100	2,5 – 3,6	20 – 45	Kõva, paks, kulumiskindel

\*Võib olla lisatud oblik-, fosfor-, boor-, sulfosalitsüül-, sulfoftaal- või viinhape

### 3.3 Tsirkooniumoksiid

Tsirkooniumoksiid ( $ZrO_2$ ) on heade mehaaniliste omadustega polümorphne keraamiline materjal (Tabel 4), mille tõttu leiab see rakendust meditsiinilise hambaimplantaatidena [45]. Samuti on kasutusel tsirkooniumoksiidil põhinevad nanostruktuursed kaitsekatted, mis parandavad materjalide vastupidavust kulumisele ja hapniku poolt põhjustatud kõrgtemperatuurilisele korrosioonile, näiteks sisepõlemismootorites ja gaasiturbiniides [46–47].

Toatemperatuuril on  $ZrO_2$  monokliinse kristallstruktuuriga. Faasi üleminekud tetragonaalsesse ja kuubilisse faasi toimuvad vastavalt 1170 ja 2370 °C juures. Lisanditega ( $Y_2O_5$ ,  $CeO$ ,  $CaO$ ,  $Nb_2O_5$ ,  $Ta_2O_5$ ,  $Al_2O_3$ ) on võimalik stabiliseerida tetragonaalset ja kuubilist kristallvõret toatemperatuuril. Need struktuurid on eelistatud oma paremate mehaaniliste omaduste tõttu [48–54].

$ZrO_2$  võib parandada ka alumiiniumoksiidi mehaanilisi omadusi faasimuutus-tugevdamise mehhanismi abil [55]. Nimelt on 1  $\mu\text{m}$  suurused tetragonaalse struktuuriga  $ZrO_2$  osakesed toatemperatuuril stabiilsed, kui viia need  $Al_2O_3$  maatriksisse. Kui materjali moodustub pingete tõttu mõra, toimub mõra läheduses paiknevates  $ZrO_2$  osakestes faasi üleminek tetragonaalsest monokliiniseks ning osakeste ruumala suureneb 3% võrra. Ruumala suurenemine vähendab pingeid mõra otstes, mõranemise kiirus väheneb ja materjali purunemissitkus suureneb [55]. Lisades alumiiniumoksiidi maatriksisse 10 – 30 %  $ZrO_2$  osakesi, on võimalik suurendada materjali tugevust, aga ka sitkust, kõladust ja kulumiskindlust [56–57].

**Tabel 4.** Eri  $ZrO_2$  faaside mehaanilised omadused.

Faas	$\sigma_s$ (GPa)	H (GPa)	$K_c$ (MPa*m <sup>0,5</sup> )	E (GPa)
Monokliinne	-	8 – 11 [51]	2 – 5 [50–51]	190 – 250 [49–50]
Tetragonaalne	2,4 – 4,8 [52]	12 [53]	7 – 13 [52]	80 – 245 [49,52]
Kuubiline	-	12 [48]	2 [48]	201 – 300 [49]

Märkus: Tabelis kasutatavate tähistustete seletused on toodud lühendite lehel.

### **3.4 Aatomkihtsadestuse meetod**

Aatomkihtsadestus on õhukeste kvaliteetsete materjali kilede aurufaasist sadestamise üks viisidest [34–36]. Sadestamisel toimuvad proovi pinnal iseküllastuvad keemilised reaktsioonid, mistõttu tekib üle kogu pinna ühtlane kiht. Pinnareaktsioonide iseküllastus saavutatakse ALD puhul lähteainete eraldi doseerimisega reaktsioniruumi, kus need adsorbeeruvad kaetava objekti pinnale ja reageerivad seal olevate radikaalide ja/või aatomitega. ALD erineb keemilise aurufaasist sadestuse (CVD, ing. k. *chemical vapour deposition*) meetodist selle poolest, et viimase puhul täidavad lähteained reaktori samaaegselt ja seetõttu toimub kile kasv pidevas režiimis. ALD puhul seevastu lähteained sisetatakse reaktorisse vaheldumisi pulssidena, mille vahel toimub reaktori puhasustus inertgaasiga (nt lämmastik). Puhasuspulsi ajal eemaldatakse reaktorist ja ka objekti pinnalt kõik lähteainete ülejäägid ja gaasilised reaktsiooniproduktid [34–36].

Aatomkihtsadestusega on võimalik ühtlaselt katta ka anoodse alumiiniumoksandi poore, muutes nii pooride läbimõõtu [37–38]. Nii õnnestus  $\text{Al}_2\text{O}_3$  ja  $\text{ZnO}$  kiledaga muuta 50  $\mu\text{m}$  pikkuste ja 65 nm läbimõõduga AAO membraani pooride läbimõõtu ühtlaselt, kui lähteainete ja puhasustus pulsside pikkused olid mõlemad 30 sekundit [37].

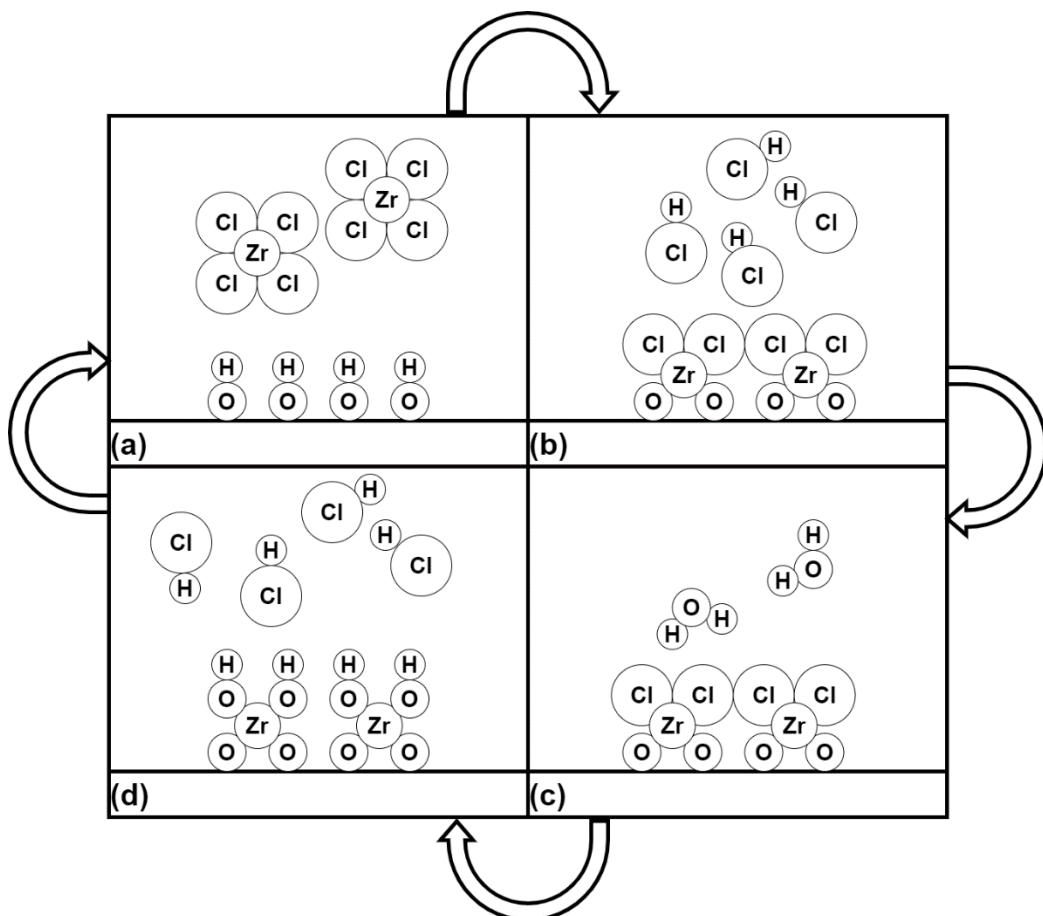
#### **3.4.1 Tsirkooniumoksiidi aatomkihtsadestus**

Oksiidide kasvatamisel ALD protsessis toimuvad reaktsioonid pinnal olevatel OH-rühmadel (Joonis 2), mille hulk mõjutab reaktsioonimehanismi ja kasvukiirust [39–40].

$\text{ZrCl}_4/\text{H}_2\text{O}$  aatomkihtsadestuse korral on reaktsioonid kiired ja kasvukiirust limiteerib lähteainete transport reaktsioonitsentriteni [40]. Reaktor rõhuga 1 mbar täitub lähteainete auruga vaid 1–2 sekundiga [40]. Seega maksimaalne kasvukiirus, umbes 0,1 nm/tsüklis, saadakse juba pulsiaegadega 2/2/2/2 sekundit siledal alusel (vastavalt  $\text{ZrCl}_4/\text{N}_2/\text{H}_2\text{O}/\text{N}_2$  pulsid horisontaalses läbivooreaktsoris) [44].

$\text{ZrCl}_4/\text{H}_2\text{O}$  aatomkihtsadestust on võimalik läbi viia temperatuurivahemikus 180 – 600°C, mille korral saavutatakse suurim kasvukiirus temperatuuri vahemikus 300 – 325°C [40,42]. Madalatel temperatuuridel (< 300°C) ei kulge reaktsioonid lõpuni ja kasvatatud  $\text{ZrO}_2$  kiledes on suhteliselt suur klori kontsentratsioon (< 10 aatom%). Kõrgematel temperatuuridel, >300°C, sadestatud kiledes väheneb klori sisaldus alla 1 aatom% [40–42].

Madalatel temperatuuridel sadestatud  $\text{ZrO}_2$  kiled on amorfsed, aga temperatuuri tõstmisel, alates  $200^\circ\text{C}$ , hakkavad tekkima kristallisatsiooni alged. Tetragonaalne faas tekib  $200 - 300^\circ\text{C}$  juures ning kõrgematel temperatuuridel saadakse ka monokliinset faasi [41–42].



**Joonis 2.** ALD reaktsioonimehhanismi skeem  $\text{ZrO}_2$  kasvatamisel lähteainetest  $\text{ZrCl}_4/\text{H}_2\text{O}$  Si-alusele [40]. Esimese pulsi ajal adsorbeeruvad kaks  $\text{ZrCl}_4$  molekuli pinnale ja reageerivad kumbki kahe seal oleva  $\text{OH}$ -rühmaga (a), eraldub neli  $\text{HCl}$  molekuli, mis puhutakse reaktorist välja (b), pinnal on nüüd kaks  $\text{ZrCl}_2$ -radikaali. Teise lähteaine pulsi ajal suunatakse reaktorisesse vee molekulid, mis reageerivad pinnal olevate metalli radikaalide kloori aatomitega (c), selle reaktsiooni tagajärel tekib veel neli  $\text{HCl}$  molekuli, mis puhutakse reaktorist välja ning pinnale jääb neli  $\text{OH}$ -rühma (d) nagu oli ka algseisus, kuid pinnale tekkis ka kaks  $\text{ZrO}_2$  molekuli. Kõrgematel temperatuuridel ( $T > 300^\circ\text{C}$ ) on  $\text{OH}$ -rühmi pinnal vähem, mistõttu esimesel pulsi ajal eraldub iga metalli aatom küljest vaid üks kloori aatom ja ülejäänud kolm reageerivad ära vee pulsi ajal [39–40]. Igas sellise tsükli kordamisega kasvab  $\text{ZrO}_2$  kile  $0,1 \text{ nm}$  võrra paksemaks [42].

### 3.5 Röntgendifraktsioon analüüs

Röntgendifraktsioon (XRD, ing.k. *X-ray diffraction analysis*) analüüs on mittepurustav meetod materjalide faasilise koostise määramiseks [58–60]. Polükristalliliste materjalide XRD-s kasutatakse tavaliselt kalki monokromaatset röntgenkiirt, mis hajub kristalli aatomtasanditel koherentselt. Kuna aatomtasandite kaugused on samas suurusjärgus röntgenkiirtega, tekib interferents eri aatomtasanditel hajunud kiirte vahel [58].

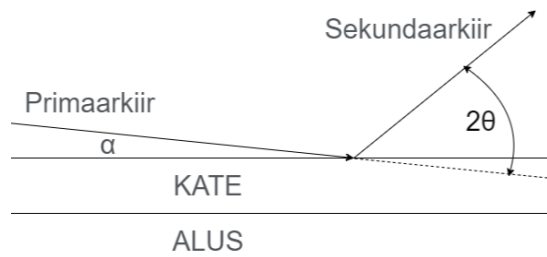
Konstruktiiivse interferentsi tingimust kirjeldab Braggi seadus [58–60]:

$$n\lambda = 2d \sin \theta, \quad (1)$$

kus  $n$  on täisarv,  $\lambda$  on röntgenkiirguse laine pikkus,  $d$  on aatomtasandite vaheline kaugus ja  $\theta$  on Braggi nurk pealelangeva kiire ja aatomtasandi vahel.

Vastavalt Braggi seadusele tekib paralleelistelt aatomtasanditel hajunud röntgenkiirte konstruktiiivne interferents, kui eri tasanditel hajunud kiirte käiguvahe on täisarv laine pikkusi. XRD mõõtmistel saadakse difraktogramm - hajunud kiirguse intensiivsuse sõltuvus difraktsiooninurgast ( $2\theta$ ), mille abil, teades samuti kiirguse laine pikkust, saab leida aatomtasandite vahetkaugused. Difraktogrammidest on võimalik välja selgitada kristallstruktuuri, ühikraku mõõtmeid, aatomite koordinaadid ühikrakus, aga ka makroskoopilisi suurusi nagu eri faaside sisaldust, soojuspaisumistegurit, kristalliitide orientatsiooni, kristalliitide suuruset, võre deformatsioone jt [58–60].

Libiseva kiire röntgendifraktsioon (GIXRD, ing. k. *grazing incidence XRD*) on meetod proovi pindmiste kihtide (1–1000 nm) struktuuri määramiseks. Antud meetodis langeb primaarne kiir proovile väikse nurga all ( $\alpha$ , nurk kiire ja proovi pinna vahel, on alla 5 kraadi) ja mõõdetakse sekundaar-/difrageerunud kiire intensiivsuse sõltuvust difraktsiooninurgast (Joonis 3). Sel juhul satuvad röntgenkiired ainult proovi pindmistesse kihtidesse täieliku välispeegeldumise tõttu ning seetõttu on mõõtmine pinnatundlik. Sügavus, milleni primaarkiired tungivad, sõltub langemisnurgast  $\alpha$  [58–60].

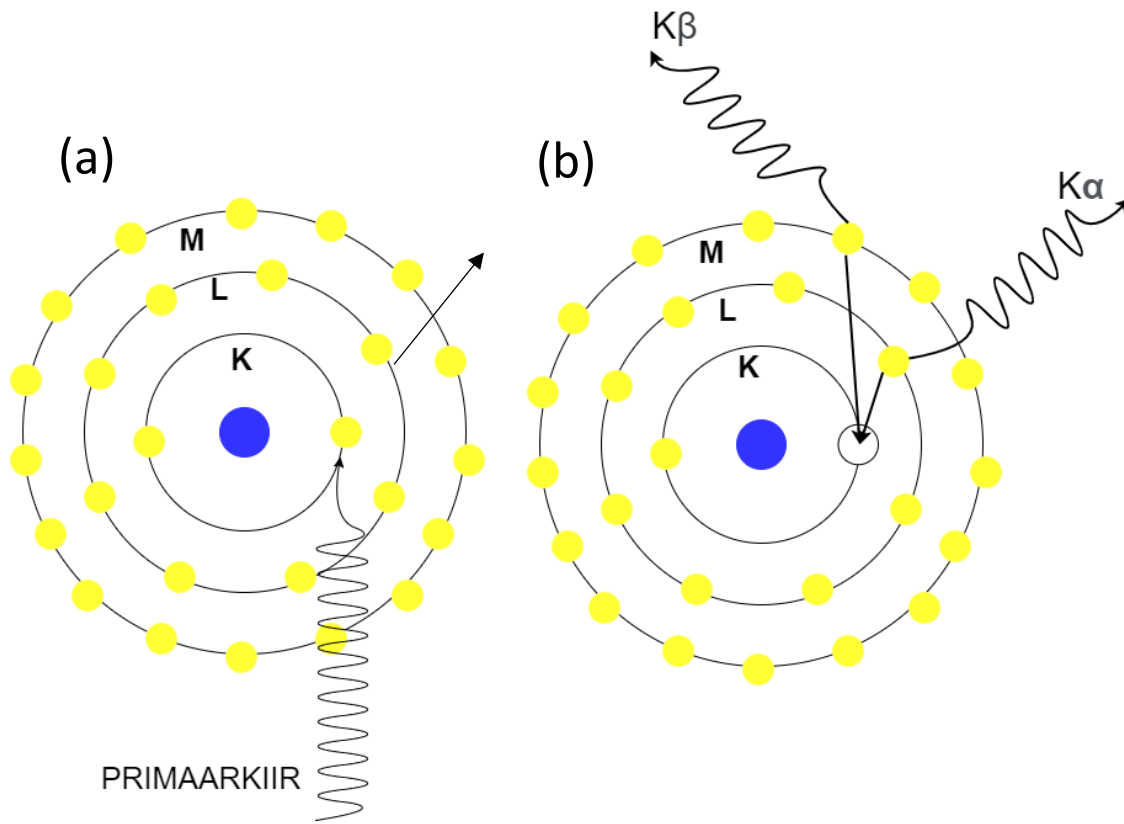


**Joonis 3.** GIXRD meetodi geomeetria, kus langemisnurk  $\alpha$  on fikseeritud ja  $2\theta$  on difraktsiooninurk [60].

### 3.6 Lainedispersiivne röntgenfluorescents spektroskoopia

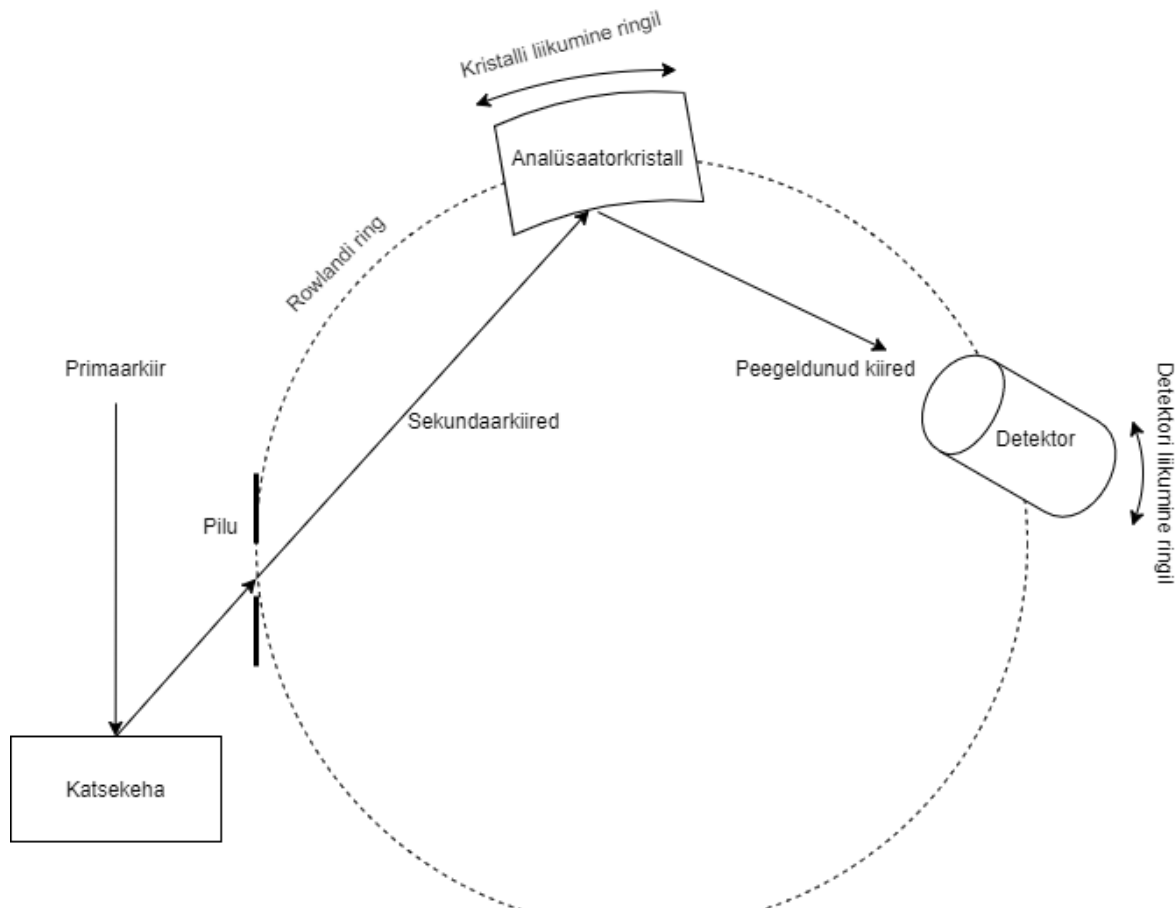
Lainedispersiivne röntgenfluorescents spektroskoopia (WD-XRF – ing.k. *wavelength dispersive x-ray fluorescence spectroscopy*) on meetod, mis võimaldab määrata materjalide elemendilist koostist. Uuringute jaoks võib materjaliks olla tahkis, vedelik või pulber ning samuti on võimalik määrata ka õhukeste katete või kihtide paksust. Mõõtmine on kiire (mõni minut kuni 1 h) ja mittepurustav [61].

Röntgenfluorescents mõõtmisel ergastatakse proovi primaarse röntgenkiirusega, mille allikaks on tavaiselt röntgentoru. Kui ergastamisel eemaldub aatomi sisekihi elektron, siis vabanenud koha täidab mõni väiksema seoseenergiaga elektron, mille tulemusena vabaneb energia karakteristliku röntgenkiiruseks. Ergastamisel võib tekkida vakants erinevatele elektronikihtidele, mille võivad täita mitmed elektronid kõrgematelt tasemetelt (Joonis 4), mistõttu igale elemendile vastab komplekt karakteristikke röntgenkiiruse jooni spektris [61–63].



**Joonis 4.** Sisekihi elektri ergastus primaarse röntgenkiirega (a). Võimalikud fluoresentsi protsessid vaba energianivoo täitmiseks (b) [63].

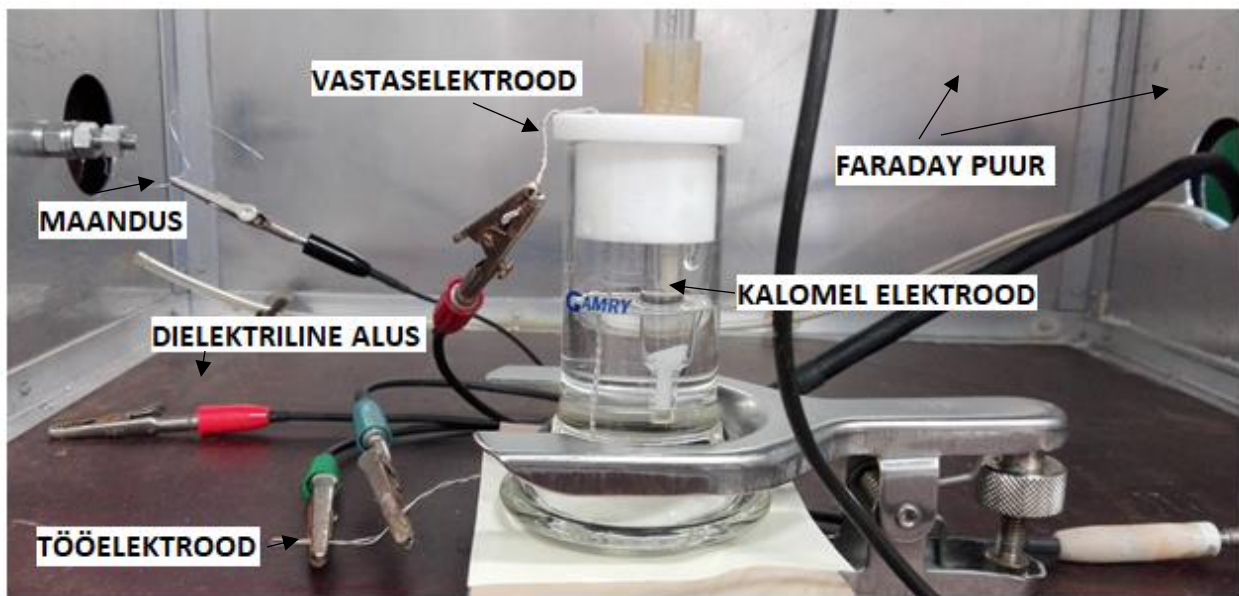
Lainedispersiivse röntgenfluoresentsens spektroskoopia puhul asetsevad katsekeha, detektor ja analüsaatorkristall Rowlandi ringil (Joonis 5). Sellise geomeetria puhul langeb kiirgus katseobjektilt analüsaatorkristallile, kust osa kindla laine pikkusega kiirgust peegeldub Braggi seaduse (1) alusel detektorisse. Kui on teada analüsaatorkristalli aatomtasandite vahekaugus  $d$  ja objektilt emiteeruvale karakteristlikule kiirgusele vastava spektrijoone Braggi nurk  $\theta$ , võimaldab see leida karakteristliku röntgenkiirguse laine pikkuse  $\lambda$ , mille korral esineb konstruktiiivne interferents kristallilt detektorisse. Mõõtes konkreetsele elemendile iseloomuliku karakteristliku kiirguse intensiivsust ja võttes appi puhtale elemendile vastava röntgenjoone teoreetilise intensiivsuse, või mõõtes selle tundud koostisega ühendis, saame määrata elemendi kontsentratsiooni (massi%) uuritavas proovis [61–63].



**Joonis 5.** WD-XRF spektromeetri skeem [63].

### 3.7 Elektrokeemilised korrosionitestid

Korrosiooni kiirus sõltub metalli ja elektrolüüdi vahel kulgevate elektrokeemiliste reaktsioonide tasakaalust [15, 64–68]. Tasakaalu korral omab metall korrosionipotentsiaali  $E_{\text{korr}}$ . Sellele vastab korrosionivool  $I_{\text{korr}}$ , mille suurus iseloomustab korrosionikiirust.  $I_{\text{korr}}$  sõltub metallist ja selle töötlusest, elektrolüüdist, temperatuurist, elektrolüüdi lahuse liikumiskiirusest objekti pinna lähedal jt teguritest.  $I_{\text{korr}}$  sõltub ka metalli pindalast, mistõttu korrosionivoolu iseloomustatakse reeglina voolutiheduse  $j_{\text{korr}}$  abil. Selle määramiseks kasutatakse lineaarse voltamperomeetria (LSV, ing. k. *linear sweep voltammetry*) meetodit [64]. LSV korral koosneb elektrokeemiline rakk keemiliselt inertsest anumast (nt klaasist), vastaselektroodist (nt plaastina või grafiit), võrdluselektroodist (nt küllastatud kalomelelektrood) ning tööelektroodist, milleks on uuritav katseeha (Joonis 6).

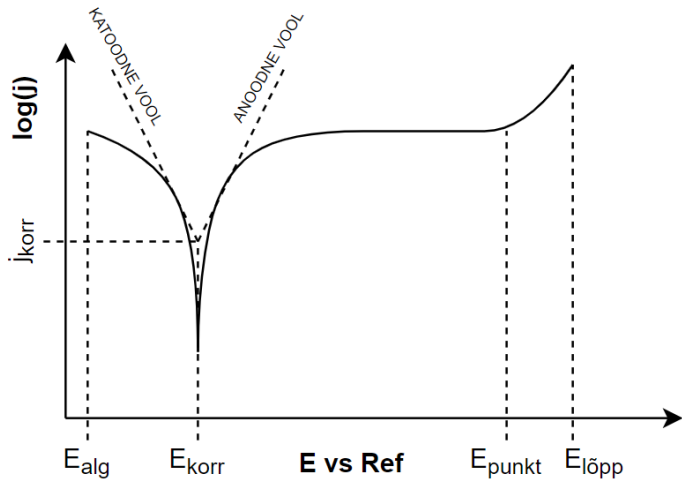


**Joonis 6.** Elektrokeemiline rakk lineaarse voltamperomeetria testis, kus tööelektrood on ühenduses katseehaga, mis asetseb elektrolüüdiga täietud klaasist anuma põhjas. Lahuses asetsevad plaatinast vastaselektrood ja võrdluselektrood.

Korrosionitestis LSV meetodil muudetakse tööelektroodi ehk katseeha potentsiaali ajas ühtlase kiirusega alg-potentsiaalilt  $E_{\text{alg}}$  kuni lõpp-potentsiaalini  $E_{\text{lõpp}}$ , seepärast nimetatakse seda meetodit ka dünaamiliseks potentiomeetriaks. Korrosionipotentsiaal  $E_{\text{korr}}$  peab jäädma sinna vahemikku. Korrosionipotentsiaal mõõdetakse potentsiomeetria meetodiga, mis on tasakaalu meetod, kus

voolutihedus on null ja määräatakse potentsiaal  $E$ . Potentsiaali mõõdetakse võrdluselektroodi suhtes või Taffeli testi puhul avatud vooluringi potentsiaali (OCP) suhtes.

Potentsiaali skaneerimise ajal LSV testis mõõdetakse töötava ja vastaselektroodi vahelist voolutugevust ning saadakse katood-ja anoodreaktsionide summaarse elektrivoolu potentsiaalist sõltuvuse graafik (Joonis 7) [64-66]. Voolu polaarsus muutub kui reaktsioon muundub katoodsest anoodseks ning graafikul tekib terav punkt voolu vähenemise tõttu. Logaritmilist skaalat kasutatakse, sest passiiverumise või punktkorrosiooni tõttu võib voolutugevus muutuda korraga mitme suurusjärgu võrra [64,68].



**Joonis 7.** Lineaarse voltamperomeetria test, kus potentsiaali tõsteti alg-potentsiaalist  $E_{\text{alg}}$  kuni lõpp-potentsiaalini  $E_{\text{lõpp}}$ . Korrosiooni potentsiaalil muutub katoodne vool anoodseks ning nende lineaarsete piirkondade teoreetilise ristumiskoha järgi saab leida korrosionivoolutiheduse  $j_{\text{korr}}$ . Anoodses piirkonnas põhjustab voolutiheduse äkilise tõusu punktkorrosiooni tekkimine, millele vastab potentsiaal  $E_{\text{punkt}}$  [15,64,69].

### 3.9 Nanotäkkimine

Nanotäkkimine on meetod, mis võimaldab määrata materjalide lokaalseid mehaanilisi omadusi. Antud meetodiga määratatakse materjalide kõvadust, elastsusmoodulit, jäikust, kriimustuskindlust, katte – aluse adhesiooni, ajast sõltuvat roomavust, väsimust ja mõranemist [70–71].

Nanotäkkimisel surutakse teravik uuritavasse materjali ning mõõdetakse kindlale jõu/koormuse väärtsusele vastavat katseobjektis tekkivat deformatsiooni, kas täkke pindala või sügavuse alusel (Joonis 8a). Nanotäkkimise puhul jäavad jõud mN, täkete sügavused aga nm kuni  $\mu\text{m}$  suurusjärku. Kõvadus on rakendatud jõu ja täkke projektsioonipindala suhe [72]:

$$H = \frac{F_{max}}{A}, \quad (2)$$

kus  $F_{max}$  on maksimaalne teravikule rakendatud jõud,  $A$  on täkke projektsioonipindala, mis arvutatakse teraviku puuteala funktsionist  $A=A(h)$  täkke sügavuse järgi [72]. Funktsiooni  $A(h)$  leitakse teraviku kalibreerimisel, kui täkitakse tundud mehaaniliste omadustega materjali. Katseobjekti elastsusmooduli leidmiseks leitakse katseobjekti ja teraviku taandatud elastsusmoodul  $E_r$  (*reduced modulus*) [72]:

$$E_r = \frac{\sqrt{\pi} * S}{2 * \sqrt{A}}, \quad (3)$$

kus  $S$  on kontakti jäikus, mis saadakse vabastamise graafiku ülemise osa tuletisest (Joonis 8a) [72]:

$$S = \frac{dF}{dh}, \quad (4)$$

Katseobjekti elastsusmooduli  $E$  saab leida järgmise valemiga [72]:

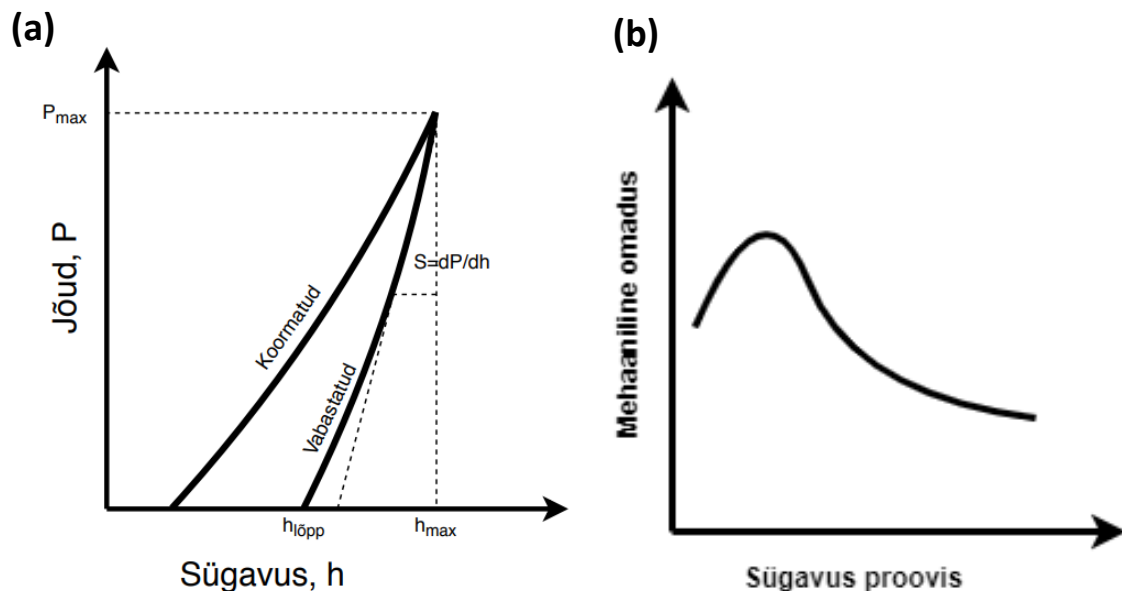
$$\frac{1}{E_r} = \frac{1-v^2}{E} + \frac{1-v_l^2}{E_i}, \quad (5)$$

kus  $E_i$  ja  $v_i$  on, vastavalt, teraviku elastsusmoodul ja Poissoni tegur ja  $v$  on objekti Poissoni tegur.

Pidev jäikuse mõõtmise (CSM, eng. k. *continuous stiffness measurement*) meetod on mõõtmisviis, mille korral koormuse suurenemisel võngub teravik maksimaalsest koormusest suurusjärgu väiksema amplituuduga. Nii mõõtes, saab leida materjali jäikuse igas mõõtepunktis ja niiviisi jäikuse sõltuvuse sügavusest (Joonis 8b). Viimasesest saab arvutada kõvaduse ja elastsusmooduli sõltuvuse sügavusest. CSM meetod on täpsem võrreldes tavalise koormamise-vabastamise tsükliga, mille puhul tuleks sama tulemuse saamiseks teha kümneid kordusmõõtmisi [70,72].

Pinna karedus mõjutab nanotäkkimise tulemusi, sest teraviku puuteala kaldpinnal erineb pindalast, mis arvutatakse puuteala funksioonist. Seetõttu peab suure karedusega pindade puhul läbi viima rohkem mõõtmisi [73].

Nanotäkkimisel võib esineda täkke suuruse efekt (ing. k. *indentation size effect*), mille korral mõõtmisel kasutatava koormuse vähenemisel (ja seega täkke suuruse vähenemisel) suureneb materjali kõvadus [74].



**Joonis 8.** Nanotäkkimise graafikud: a) ühe täkkimistsükli graafik ja b) CSM mõõtmise graafik [72].

### **3.10 Skaneeriv elektronmikroskoopia**

Skaneeriv elektronmikroskoopia (SEM, ing. k. *scanning electron microscopy*) on üks enamlevinud meetodeid nano- ja mikromailma karakteriseerimisel, mis annab infot materjali pinna topograafi, elemendilise ja faasilise koostise kohta. Skaneerivas elektronmikroskoobis saadakse pilt uuritavast katsekehast skaneerides fokuseeritud elektronkiirega üle selle pinna ja mõõtes samaaegselt tekitatud signaale. Registreeritud signaalidest (sekundaarsed elektronid, tagasipeegeldunud elektronid, karakteristik röntgenkiirgus) saadud info põhjal pannakse kokku pilt, kus igale pikslile on omistatud mõõdetud signaali intensiivsus [75–76].

Sekundaarsed elektronid on madala energiaga ( $E < 50 \text{ eV}$ ) elektronid, mis primaarkiire elektronide hajumisel proovis esinevate mitteelastsetes interaktsioonides tõttu genereeritakse ja proovi pinnalähedasest kihist väljuvad. Sekundaarsete elektronide saagis sõltub aine juhtivusest, isolatorite puhul võib see olla tunduvalt suurem ühest ning suureneb proovipinna kaldenurga suurenemisel, kuid ei sõltu proovi aatomite aatomnumbrist. Sekundaarseid elektronid väljuvad 5 – 50 nm sügavuselt proovist, mistõttu saab nende abil infot peamiselt pinna topografiast [75].

Tagasipeegeldunud elektronid on primaarkiire elektronide elstse(te) hajumisprotsessi(de) läbi samalt pinnalt tagasi hajunud elektronid. Primaarkiire elektronid võivad jõuda, olenevalt algenergiast, kuni mitme mikromeetri sügavusele proovi, mille vältel nad võivad interakteeruda aatri tuumade ja elektronidega elastelt ja mitteelastelt. Osa sellistest elektronidest hajub tagasi primaarkiire suunas, mida nimetatakse tagasipeegeldunud elektronideks. Elastsete hajumiste arv suureneb proovi keskmise aatominumbri suurenemisel, mistõttu ergeetiliste tagasipeegeldunud elektronide registreerimisel saab infot lisaks topograafiale ka pinna kihil elemendilise koostise kohta, sealjuures on neid kahte signaali võimalik spetsiaalsede detektorite abil eraldi võimendada [75].

Karakteristik röntgenkiirgus tekib SEM-is analoogiliselt paragraafis 3.6 Joonisel 4 toodud ergastus-skeemile, selle vahega, et siin on ergastajaks kiirendatud primaarelektronid, millel peab olema piisavalt energiat proovi aatomite sisekatete elektronide ioniseerimiseks. Tavaliselt kasutatakse siin sellist kiirendavat pinget, mis lubab primaarelektronidel tunguda proovi sub- kuni mitme mikromeetri sügavusele, omades seejuures veel piisavalt energiat, et genereerida seal karakteristikku röntgenkiirgust. Energia- või lainedispersiivse spektromeetri olemasolul elektronmikroskoobis, on võimalik viia läbi elementanalüüs kindlas proovi pinna punktis,

kaardistada elementide jaotust või määrata keskmist elemendilist koostist pinna suuremal alal [75–76].

SEM-ile võib olla lisatud ka skaneeriv ioonkahur, mis võimaldab materjalide uuringuteks kasutada fokuseeritud iooni kiirt (FIB, eng. k. *focused ion beam*). FIB-iga saab teha objektide pinnalähedase ala ristlõikeid soovitud kohas, et uurida SEM-i abil nende sisestruktuuri või valmistada õhukesi lamelle läbivalgustava elektronmikroskoopia uuringute jaoks [75].

Mittejuhivate katsekehade (nt keraamilised objektid) topograafia uurimiseks võib need katta õhukese juhtiva kihiga, nt plaatinaga või süsinikuga, mis juhib ära pinnale koguneva laengu. Mikrostruktuuri ja elemendilise koostise uuringuteks on tarvis puast pinda, mis on võimalikult sile. Objekti pinda saab puastada ultraheli vannis seda mitmesuguste lahustega töödeldes. Pinna vajalik siledus saavutatakse mitmeetpilise poleerimise abil. Poleerimisel kasutusel olevad pubrilised ained peaksid olema teada, sest osa neist võib jäädä pinnale kinni ning seeläbi mõjutada analüüs tulemusi [75].

## **4. Probleemipüstitus**

Sulam AA6082-T6 on erinevates rakendustes laialt kasutatav materjal, kuna see on suhteliselt suure tugevuse, hea töödeldavuse ja odava hinnaga [1–14]. Sulam on ka suhteliselt hea korrosionikindlusega, kuid siiski tekitavad teradevaheline ja punktkorrosioon probleeme selle rakendamisel korrodeeruvas keskkonnas [15–19]. Sulami korrosionikindluse tõstmiseks kasutatakse tööstuses anodeerimist [77]. Samuti on uuritud võimalusi sulami korrosionikindluse parandamiseks rakendades plasmaelektrolüütelist oksüdeerimist, laser ja sool-geel katmist ning polümeerseid pinnakatteid [26–30].

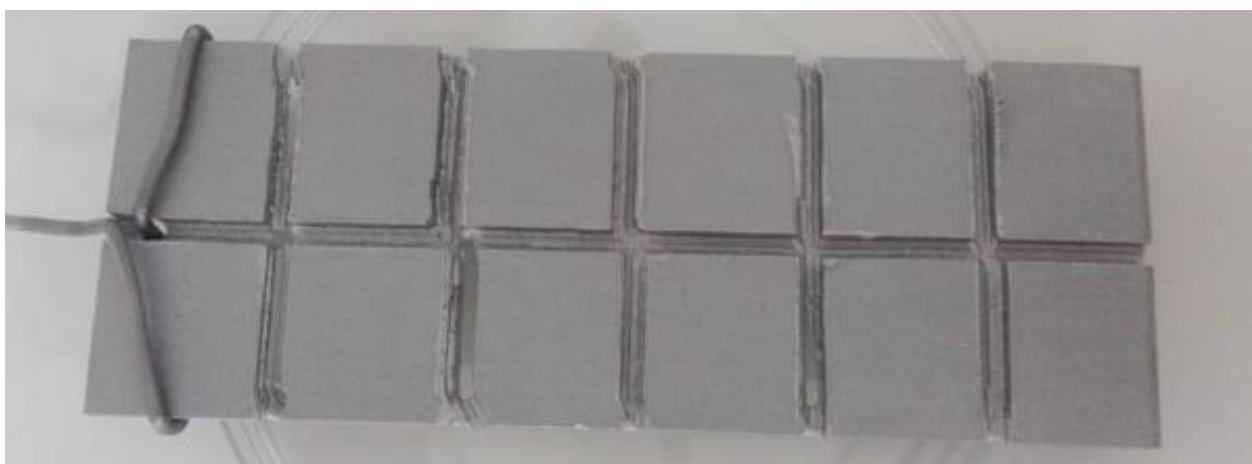
Tartu Ülikoolis on varasemalt arendatud korrosionikindlad nanostrukturoosid katted sulamile AA2024-T3 [43–44]. Need katted valmistati kahes etapis, kus esmalt alumiiniumsulami pind anodeeriti, mille poorid seejärel täideti ja kogu pind kaeti aatomkihtsadestuse (ALD) meetodil  $\text{Al}_2\text{O}_3$ ,  $\text{TiO}_2$ , nende segu või laminaadiga. Paremate mehaaniliste omadustega kate saadi seejuures täites oksiidkihi poorid  $\text{Al}_2\text{O}_3$ -ga, mis paraku muundub veega kokkupuutudes aeglaselt alumiiniumhüdroksiidiks, ja ei sobi seetõttu alumiiniumsulamite pikaajaliseks kaitseks korrosiooni eest [25,44].

Kirjanduse põhjal on teada, et heade mehaaniliste omadustega  $\text{ZrO}_2$  on juba kasutusel mitmetes rakendustes korrosionikindla kaitsekattena [46–47]. Samuti on  $\text{ZrO}_2$  tuntud biosõbralik materjal [78–79]. Seetõttu võeti käesoleva töö eesmärgiks luua õhuke nanostruktuurne korrosionikindel kaitsekatte sulamile AA6082, kasutades aluskihi valmistamiseks anodeerimist, ning saadud AAO-kihi pooride täitmiseks ja pealiskihi valmistamiseks ALD meetodil  $\text{ZrO}_2$  sadestamist  $\text{ZrCl}_4$  ja  $\text{H}_2\text{O}$  lähteainetest.

## 5. Eksperimentaalne osa

### 5.1 Katete valmistamine

Alumiiniumsulamist AA6082-T6 (Sebacom OÜ) valmistati  $110 \times 40 \text{ mm}^2$  suurused katsekehad, millesse freesiti sisse sooned (Joonis 9). Soonte põhja paksuseks jäeti  $<1 \text{ mm}$ , mis võimaldas katsekeha kergesti tükeldada peale katete valmistamist. Tööstusliku pinnatöötuse jäljendamiseks töödeldi pindu klaaskuulitamisega (Metalliekspordid OÜ). Klaaskuulitatud katsekehad puastati deioniseeritud vee ja orgaaniliste lahustitega ning seejärel anodeeriti 30 minutit 15%-lises  $\text{H}_2\text{SO}_4$  lahuses, temperatuuril  $1 \pm 1^\circ\text{C}$ . Anodeerimine toimus terasvannis pingel 10 V ja piiratud voolutiheduse  $<1 \text{ A/dm}^2$  juures, kasutades vooluallikat Power Supply EA-PS 8360-10DT.



Joonis 9. Freesitud, klaaskuulitatud ja anodeeritud AA6082-T6  $110 \times 40 \text{ mm}^2$  katseeha.

Peale anodeerimist kaeti proovid ALD abil  $\text{ZrO}_2$ -ga, kasutades lähteainetena  $\text{ZrCl}_4$  (Strem Chemicals) ja  $\text{H}_2\text{O}$ . Protsess viidi läbi laboratoories madalarõhulises läbivoolu reaktoris [78], temperatuuridel 200, 250, 300 ja  $350^\circ\text{C}$  kahes faasis:

- 80 esimest tsüklit pikemate pulsiaegadega, et täita anoodse alumiiniummoksiidkihis poorid
- 100 järgnevat tsüklit lühemate pulsiaegadega, täiendava 10 nm paksuse pealiskihi sadestuseks.

Lähteainete pooridesse difundeerimiseks optimaalse pulsiaaja leidmiseks varieeriti pikemaid pulsiaegu (Tabel 5). Võrdlusmõõtmiste jaoks olid reaktorisse iga kasvatuse korral paigutatud ka räni alused. Pooride täitumise astet hinnati XRF analüüsida abil ning täpsustati SEM-FIB meetodi abil.

**Tabel 5.** Katsekehade eeltöötlus ja kaitsekatete valmistamise parameetrid.

Objekti nr	Pinnatöötlus	ALD materjal	ZrCl <sub>4</sub> pulss, s	Puhastus pulss, s	H <sub>2</sub> O pulss, s	Puhastus pulss, s	Temperatuur, °C
1	kk	-	-	-	-	-	-
2	lihvimine	-	-	-	-	-	-
3	kk + anod	-	-	-	-	-	-
4	kk + anod	ZrO <sub>2</sub>	Lühike	Veel pikem	Lühike	Ülipikk	300
5	kk + anod	ZrO <sub>2</sub>	Keskmiline	Veel pikem	Keskmiline	Ülipikk	300
6	kk + anod	ZrO <sub>2</sub>	Pikk	Veel pikem	Pikk	Ülipikk	300
7	kk + anod	ZrO <sub>2</sub>	Veel pikem	Veel pikem	Veel pikem	Ülipikk	300
8	kk + anod	ZrO <sub>2</sub>	Pikk	Veel pikem	Pikk	Ülipikk	350
9	kk + anod	ZrO <sub>2</sub>	Pikk	Veel pikem	Pikk	Ülipikk	250
10	kk + anod	ZrO <sub>2</sub>	Pikk	Veel pikem	Pikk	Ülipikk	200
11	kk + anod	ZrO <sub>2</sub>	Veel pikem	Veel pikem	Keskmiline	Ülipikk	300
12	kk + anod	ZrO <sub>2</sub>	Veel pikem	Veel pikem	Lühike	Ülipikk	300

Märkused; kk – klaaskuulitamine; anod – anodeerimine.

## 5.2 Röntgenfluorestents-spektroskoopia

Elementanalüüs viidi läbi lainedispersiivse röntgenfluorestents spektroskoopia meetodil, kasutades spektromeetrit ZSX-400 (Rigaku). Sulami keskmiline elemendiline koostis määrati 20 mm diameetriga alalt skaneerides üle karakteristliku röntgenkiirguste lainepikkuste spektri.

Röntgenfluorestents spektroskoopiat kasutati ka anoodse alumiiniumoksiidi pooride täituvuse uurimiseks peale ZrO<sub>2</sub> aatomkihtsadestust. Selleks määrati Zr pinnatihedus ( $\mu\text{g}/\text{cm}^2$ ) 10 mm diameetriga alalt (pindala  $0,785 \text{ cm}^2$ ) 100 sekundi vältel, registreerides Zr K $\alpha$  kiirgust lainepikkusega  $0,79 \text{ \AA}$ . Tsirkooniumi sisaldused määrati kattes alumiiniumobjektidel ja kiles räni alustel.

### **5.3 Röntgendifraktsioon analüüs**

Röntgendifraktsioon analüüs libiseva kiire (GIXRD) meetodil viidi läbi seadmega SmartLab (Rigaku), kus primaarkiire nurk  $\alpha$  oli 5,76 kraadi ja sekundaarkiire nurka  $2\theta$  skaneeriti vahemikus 15 – 80 kraadi (Joonis 3), skaneerimise kiirus 5 kraadi/min ning skaneerimise samm oli 2,4 minutit. Difraktogramme töödeldi programmiga AXES [80], kus neid siluti, eemaldati foonikiirgus ja primaarkiire Cu K $\alpha$  kiirguse K $\alpha_2$  komponent. Edasi määratigi monokomatiseeritud Cu K $\alpha_1$  kiirguse objektil hajumisest tingitud reflekside asukohad, mida võrreldi andmebaasist Materials Project leitud CIF failidest genereeritud reflekside asukohtadega, et määrrata katsekehades leiduvate kristalliliste ainete faasid.

### **5.4 Nanotäkkimine**

Katete mehaanilisi omadusi uuriti nanotäkkimise meetodil, kasutades seadet TI980 TriboIndenter (Bruker). Uuringud viidi läbi pideva jäikuse mõõtmise (CSM) režiimis kuni maksimaalse jõuni 10 mN, mille korral teostati  $10 \times 10$  mõõtmist, 10  $\mu\text{m}$  vahemike tagant. Saadud mõõtmisandmed analüüsiti Excelis (Microsoft).

### **5.5 Skaneeriv elektronmikroskoopia**

Katete pindade ja fokuseeritud ioonkiirega tehtud ristlõigete karakteriseerimiseks kasutati kahekiirelist kõrglahutusega skaneerivat elektronmikroskoopi Helios Nanolab 600 (FEI). Energiadispersiivne röntgenmikroanalüüs viidi läbi spektromeetriga INCA Energy 350 (Oxford Instruments), millega uuriti sulami koostist. EDS analüüsisis oli primaarkiire elektronide kiirendav ping 20 kV ja sondi vool 1,4 nA. Topograafia visualiseerimiseks sekundaarsete elektronidega kasutati primaarelektronide kiirendavat pinget 10 ja 2 kV ning sondi voolu 86 pA.

### **5.6 Elektrokeemilised korrosionitestid**

Elektrokeemilised korrosiooni testid viidi läbi potentsiostaadiga Reference 600 (Gamry Instruments) 3-elektroodilises mõõterakus (PTC1™ Paint Test Cell, Gamry Instruments), kasutades 1  $\text{cm}^2$  avaga maske (PortHoles™ Electrochemical Sample Mask, Gamry Instruments). Testid viidi läbi 0,5M NaCl lahuses toatemperatuuril. Rakus, mis testimise ajal paigutati Faraday puurkappi, oli objekt tööelektroodiks, plaatina traat vastaselektroodiks ning küllastunud

kalomelektrood võrdluselektroodiks (Joonis 6). Lineaarse voltamperomeetria (LSV) mõõtmised viidi läbi vahemikus -1 – +1 V ja -1 – +10V, kasutades laotuskiirust, vastavalt, 1 mV/s ja 300 mV/s. Saadud mõõtmisandmeid analüüsiti Excelis (Microsoft).

## 6. Tulemused

### 6.1 Eeltöötuse ja anodeerimise mõju sulamile AA6082

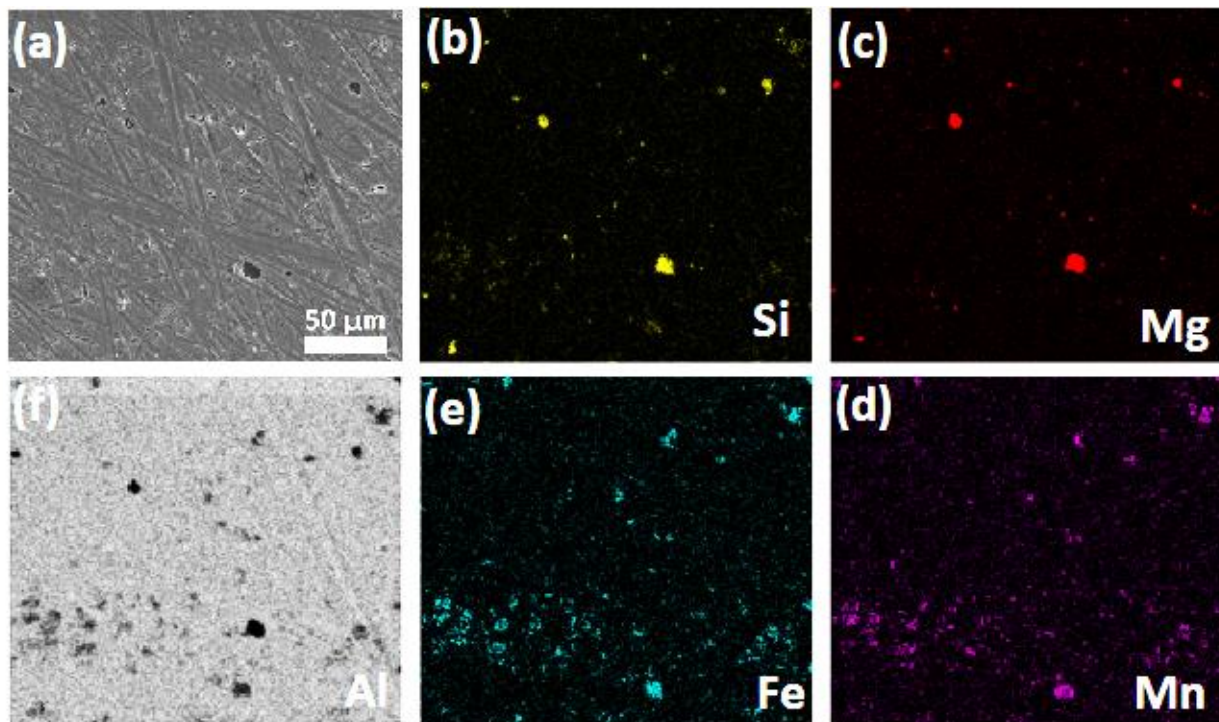
Tabelis 6 on toodud sulami AA6082 elemendiline koostis ja selle muutus erinevate pinnatöötluste tulemusena, analüüsitud XFR abil. Pinna lihvimine liivapaberiga (SiC) vähendas hapniku ja süsiniku sisaldust eeldatavasti pinnal leiduva oksiidi kihi ja mustuse eemaldumise tõttu. Klaaskuulitamine ei vähendanud hapniku ja süsiniku sisaldust, küll aga lisandusid Na, Ca väikeses koguses. Räni osakaal suurennes mehaaniliste töötluste järel, sest seda sisaldus pinntöötlusel kasutatavates materjalides. Anodeerimise järel vähenes lisandite nagu Mg, Mn, Fe osakaal, sest väavelhappe lahuses anodeerimisel eemaldatakse AAO-s enamik Mg, Si ja Fe-ühendeid [81].

**Tabel 6.** Sulami AA6082 elemendiline koostis massi%.

	Töötlemata	Lihvitud	Klaaskuulitatus	Klaaskuulitatus ja anodeeritud
Al	85,4	93,6	85,8	57,9
O	8,97	2,06	7,63	36,3
C	1,61	0,85	1,52	0,89
S	0,01	0	0,02	1,9
Si	0,89	0,96	2,29	1,37
Mg	1,86	1,02	1,23	0,65
Mn	0,68	0,76	0,64	0,43
Fe	0,39	0,47	0,38	0,25
Zn	0,05	0,06	0,05	0,03
Cu	0,05	0,06	0,05	0,03
Na	-	-	0,14	0,13
Ca	-	-	0,14	0,07
Muu	0,19	0,1	0,18	0,08

Lihvitud AA6082 sulami SEM uuringud näitasid, et töötluuse tulemusena on objekti pinnal näha heledamad ja tumedamat sisestused ja ka lihvimisjälgede vaod (Joonis 10a).

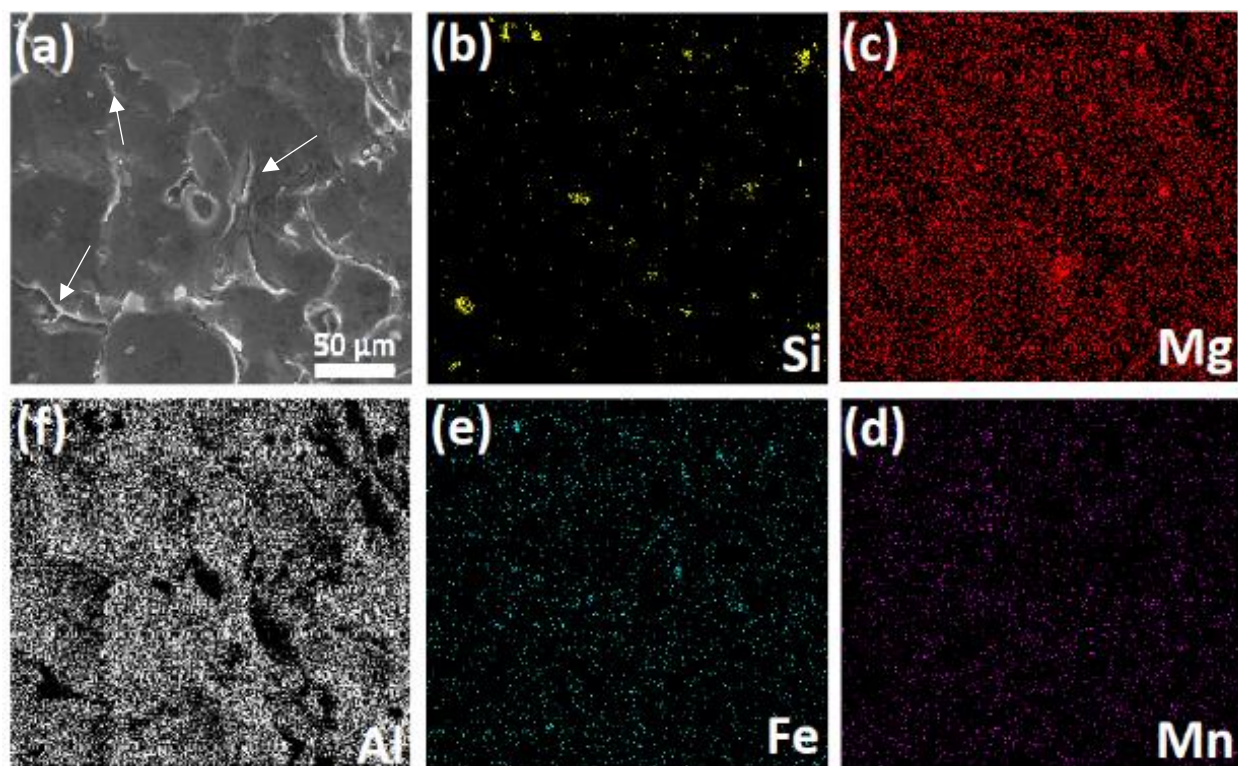
Samal ala EDX abil mõõdetud elementide jaotusest on näha, et samades paikades, kus asuvad tumedamatud alad, asuvad ka lisandite faasid (Joonis 10b-d). Eristatavad on Mg-Si, Al-Fe-Mn ja Al-Fe-Mn-Si IMP-d, mis võiksid vastata kirjanduses toodud  $Mg_2Si$ ,  $Al_6(Fe,Mn)$  ja  $Al-(Fe,Mn)-Si$  faasidele [7–9].



**Joonis 10.** SEM-EDX uuringud lihvitud sulami pinnast, kus on toodud sekundaarse elektronide pilt (a) ja elementide Si (b), Mg (c), Mn (d), Fe (e) ja Al (f) jaotus samal alal.

Klaaskuulitud AA6082 sulami pinnal on näha suuremaid ümaraid lohkusid, mis tekkisid klaaskuulidega pinna deformeerimisel (Joonis 11a). Lohkused ääristavad teravad, heledad servad ning mõne serva lächedal on näha ka pinna deformeerimisega tekitatud pragusid, tähistatud noolekestega.

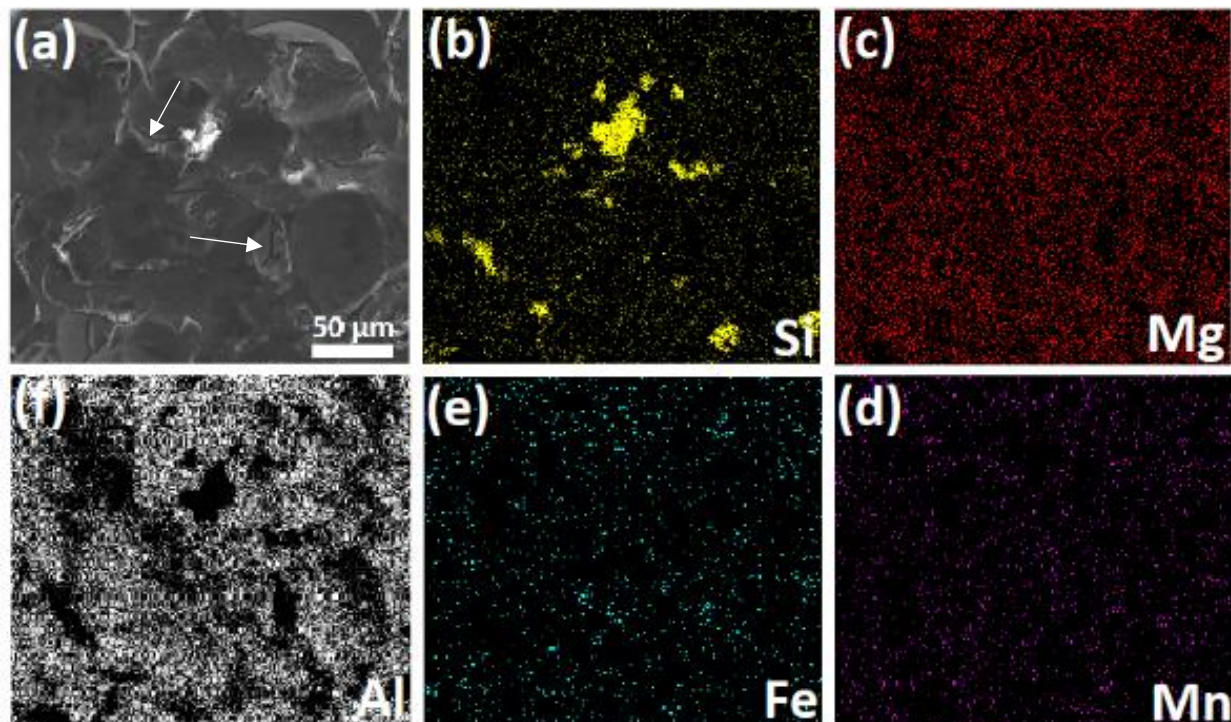
EDX uuringud samal alal näitasid, et selgelt eristatavad Fe ja Mn faase pindmises kihis pole, näha on paar Mg-Si faasi osakest (Joonis 11b–d), samas on eristatavad suure Si sisaldusega osakesed, mis võivad olla pinda kinni jäänud purunenud klaaskuulikeste osakesed.



**Joonis 11.** SEM-EDX uuringud klaaskuulitud sulami pinnast, kus on toodud sekundaarsete elektronide pilt (a) ja elementide Si (b), Mg (c), Mn (d), Fe (e) ja Al (f) jaotus samal alal.

Klaaskuulitatum ja seejärel anodeeritud pinna SEM uuringud näitasid, et pinnal esinevad samasugused lohud, mis tekkisid pinnale klaaskuulitamise käigus (Joonis 12a), samuti on alles mõned praod, vt. noolekesed.

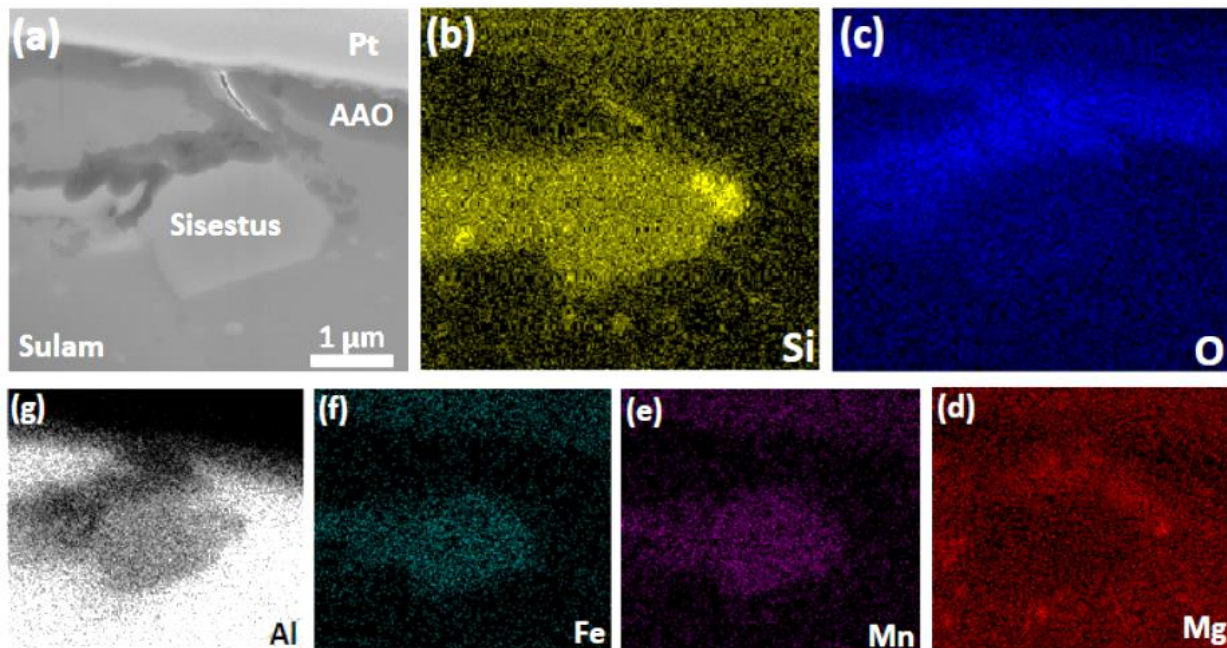
Elementjaotustelt võib näha, et puuduvad Mn, Fe, Mg lisandifaasid. Aga alles on palju räni sisaldavad suuremaid ja väiksemaid osakesi, millest paljud on anodeerimise käigus jäänud AAO kihi pinnale, võrdle heledaid osakesi AAO pinnal Joonisel 12a ja Si-jaotust Joonisel 12b.



**Joonis 12.** SEM-EDX uuringud klaaskuulitatum ja anodeeritud sulami pinnast, kus on toodud sekundaarsete elektronide pilt (a) ja elementide Si (b), Mg (c), Mn (d), Fe (e) ja Al (f) jaotus samal alal.

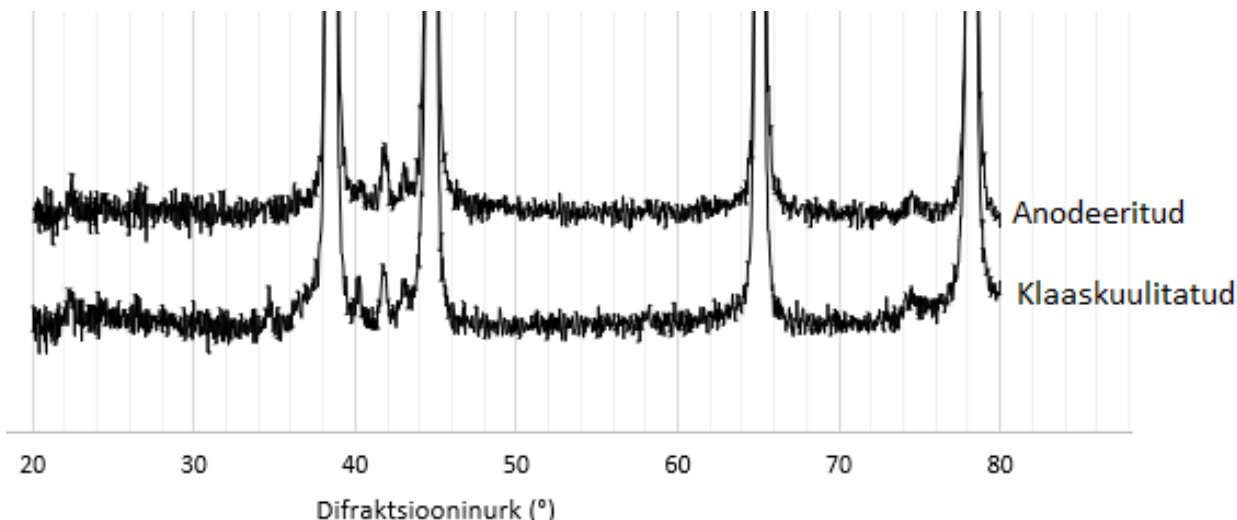
Fokuseeritud ioonkiirega tehti ristlõige klaaskuulitatum ja anodeeritud pinnast kohast, kus paiknes pinnalähedane sisestus (Joonis 13). Ristlõike SEM pildilt joonisel 13a võib näha kolme eristatavat kihti: hele plaatina kiht ülemises ääres, mis sadestati pinnale mikroskoobis ristlõike tegemiseks; tumedam ~ 1 μm paksune anodeeritud kiht – AAO; ja sulam, milles on suurem heledam ja tumedaimad laike – ilmselt eri faasikoostisega sisestused. Sisestuste kohal on näha mõra AAO kihis ja selle kõrval heledam osake.

EDS uuring ristlõikest paljastas, et faas koosneb peamiselt ränist, aga leidub ka vähesel määral Al, Fe, Mn ehk tegu võiks olla Al-(Mn,Fe)-Si faasiga. Prao ümbrus ning sellest allapoole jäav ala sisaldab hulgaliselt hapnikku, mis võib viidata AAO levimisele sügavamate sulamisse.



**Joonis 13.** SEM-EDX uuringud FIB-i abil tehtud ristlõikest klaaskuulitatum ja anodeeritud sulami pinnast, kus on toodud sekundaarsete elektronide pilt (a) ja elementide Si (b), O (c), Mg (d), Mn (e), Fe (f) ja Al (g) jaotus samal alal.

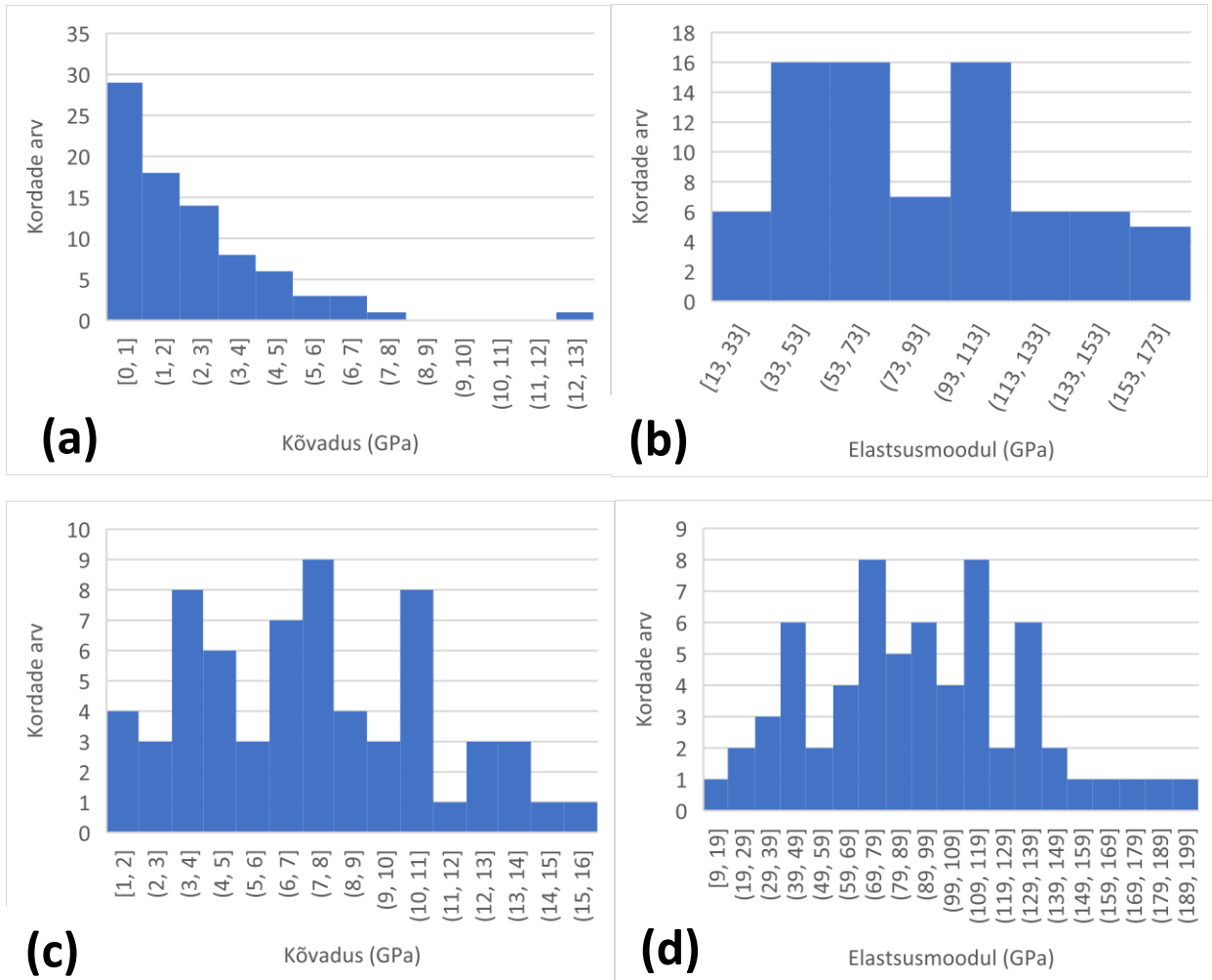
GIXRD mõõtmisel saadud difraktogrammid klaaskuulitatum ja anodeeritud katsekehade näitasid intensiivseimaid reflekse nurkadel: 38, 45, 65 ja 79° (Joonis 14). Neile refleksidele vastab alumiiniumi tahkkesendatud kuubiline faas [82]. Anodeerimise järel uusi reflekse ei tekkinud, mis tähendab, et protsessis tekkis vaid amorfne alumiiniumoksiid. Anodeerimise tõttu kadusid nõrgad refleksid nurkadel 35 ja 40°, mis vastasid faasidele Al<sub>6</sub>(Fe,Mn) ja Mg<sub>2</sub>Si, mis on kooskõlas ka EDS mõõtmistulemustega, kus need faasid polnud pinnal enam eristatavad [8,81,83]. Refleksid nurkadel 22, 42, 43, 45, 75° vastavad Al-(Fe,Mn)-Si faasile, mis ei vähenenud anodeerimise käigus [84].



**Joonis 14.** GIXRD mõõtmise difraktogramm sulamist ja anodeeritud proovist.

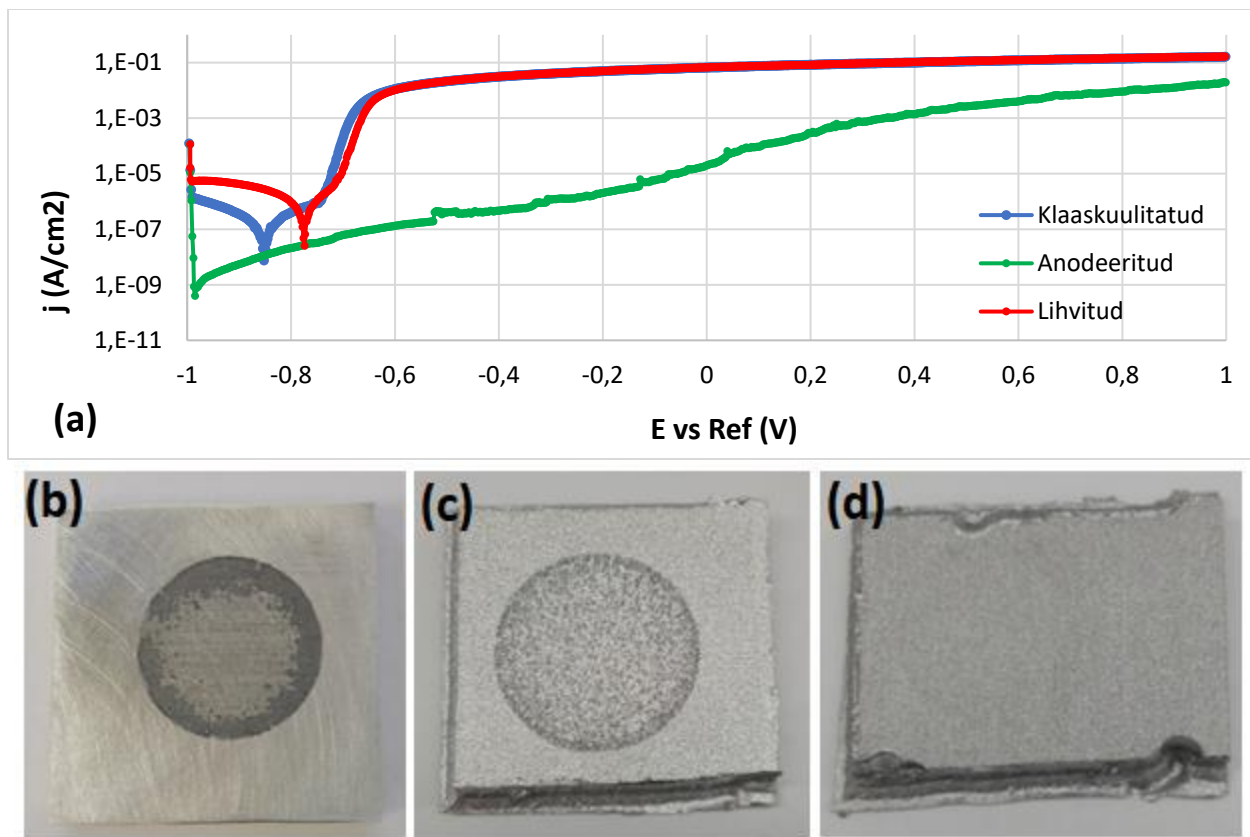
Nanotäkkimise uuringud näitasid, et sulami keskmine kõvadus on  $2,5 \pm 2,1$  GPa (Joonis 15a). Enamus mõõtmisi andis kõvaduse 1–3 GPa ringis, aga esines ka kõvemaid mõõtepunkte. Keskmine elastsusmoodul oli  $84 \pm 40$  GPa (Joonis 15b), kirjanduse andmetel on sulami elastsusmoodul 70 GPa [4]. Joonisel 15a–b on toodud poleeritud sulami AA6082-T6 ~100 mõõtmise tulemused (mõned ebaõnnestunud mõõtmised on eemaldatud) 1 μm sügavusel, et pinna kareduse ja töötuse mõju mõõtmisele oleks minimaalne. Katete kõvadused määritati 100 nm sügavusel, et vähendada aluse mõju mõõtmisele.

Anodeerimise järel on kõvadus 100 nm sügavusel  $6,7 \pm 3,6$  GPa ja elastsusmoodul  $92 \pm 40$  GPa (Joonis 15c-d).



**Joonis 15.** Nanotäkkimise tulemused ~100 kordsel mõõtmisel CSM meetodil rakendades jõudu kuni 10 mN. Diagrammide x-teljel on toodud kõvaduse ja elastsusmooduli väärustute vahemikud, y-teljel on toodud märgitud parameetrite väärustute esinemise sagedus antud vahemikus. Poleeritud sulami AA6082-T6 kõvaduse (a) ja elastsusmooduli (b) jaotus 1  $\mu\text{m}$  sügavusel, anodeeritud proovi kõvaduse (c) ja elastsusmooduli (d) jaotus 100 nm sügavusel.

Korrosionitest lineaarse voltamperomeetria (LSV) meetodil näitas, et anodeeritud proovi puhul mõõdetud voolutihedused on mitu suurusjärku madalamad kui lihvitud või klaaskuulitatumud proovidel (Joonis 16a). Samuti ei esine peale testi silmnähtavaid defekte anodeeritud katsekeha pinnal (Joonis 16d) nagu need on näha klaaskuulitatumud ja lihvitud proovide pinnal (Joonis 16b-c).



**Joonis 16.** Lineaarse voltamperomeetria test -1 kuni 1 V sulamile AA6082, mis oli lihvitud (punane), klaaskuilitatud (sinine) ja anodeeritud peale klaaskuulitamist (roheline) (a). Fotod  $\sim 2 \times 2$  cm<sup>2</sup> lihvitud (b), klaaskuilitatud (c) ja klaaskuilitatud ning anodeeritud (d) katsekehade pinnast pärast lineaarset voltamperomeetria testi. Katseobjektide pindadele oli kantud mask, nii et ainult 1 cm<sup>2</sup> suurune ala osales testi protsessis.

## 6.2 Aatomkihtsadestatud ZrO<sub>2</sub> mõju anodeeritud sulami pinnale

### 6.2.1 Zr sisalduse määramine AAO-s

Aatomkihtsadestatud proovide WD-XRF uuringutest selgus, et 'keskmiste' lähteainete pulsiaegade kasutamisel leidus AAO kattes kaks korda rohkem Zr kui 'lühikese' pulsside rakendamisel (Tabel 7). Räni alusel leidus mõlemal juhul sama palju tsirkooniumi.

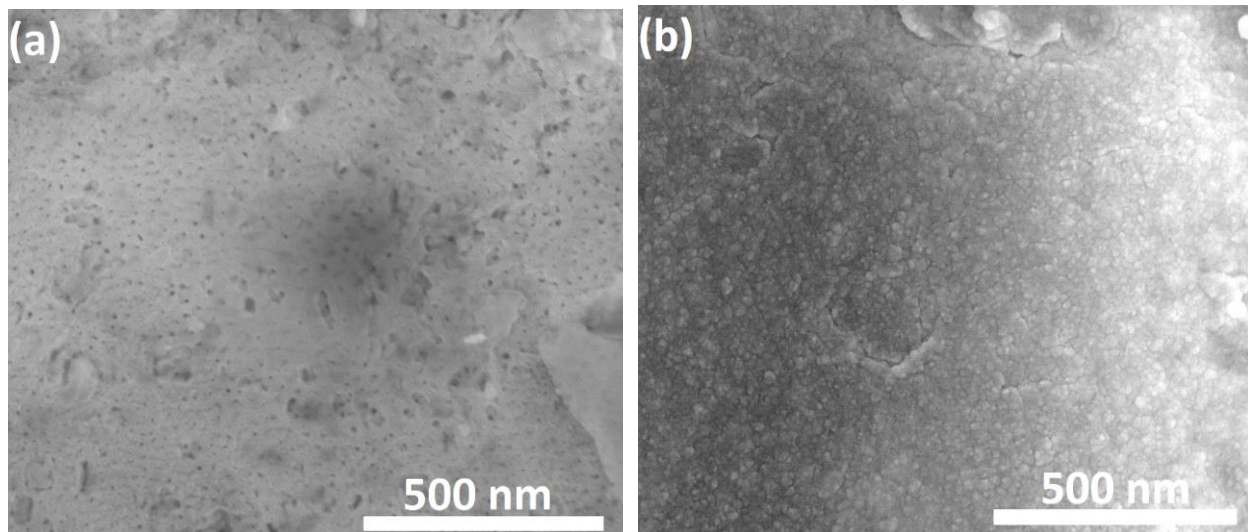
Kui aga lähteainete pulsiaegu suurendati veelgi, suurenedes Zr kogus nii AAO-s kui ka ränil, kusjuures eri alustel Zr sisalduse suhe vähenes vörreldes keskmise pulsiajaga. 'Veel pikemate' lähteainete pulsiaegadega ALD korral vähenes Zr sisaldus nii AAO alusel kui ka ränil.

Kui ZrCl<sub>4</sub> pulsi pikkus oli 'veel pikem,' aga H<sub>2</sub>O pulsi pikkust vähendati, suurenedes Zr kogus mõlemal alusel. Suurim AAO ja Si alustel leiduvate Zr koguste suhe saavutati 'keskmiste' pulsiaegadega.

**Tabel 7.** WD-XRF-iga mõõdetud Zr sisaldused eri alustel ALD kasvatustes 300 °C juures

Suhtelised ALD pulsiajad				Suhteline Zr sisaldus kattes		Zr signaali suhe AAO-s ja Si-alusel
ZrCl <sub>4</sub>	N <sub>2</sub>	H <sub>2</sub> O	N <sub>2</sub>	AAO + ZrO <sub>2</sub>	Si alus +ZrO <sub>2</sub>	Suhe
Lühike	Veel pikem	Lühike	Ülipikk	a	b	2,8
Keskmine	Veel pikem	Keskmine	Ülipikk	2,0a	0,9b	5,9
Pikk	Veel pikem	Pikk	Ülipikk	2,6a	2,2b	3,4
Veel pikem	Veel pikem	Veel pikem	Ülipikk	1,8a	1,5b	3,2
Veel pikem	Veel pikem	Keskmine	Ülipikk	1,6a	2,0b	2,2
Veel pikem	Veel pikem	Lühike	Ülipikk	1,9a	2,2b	2,4

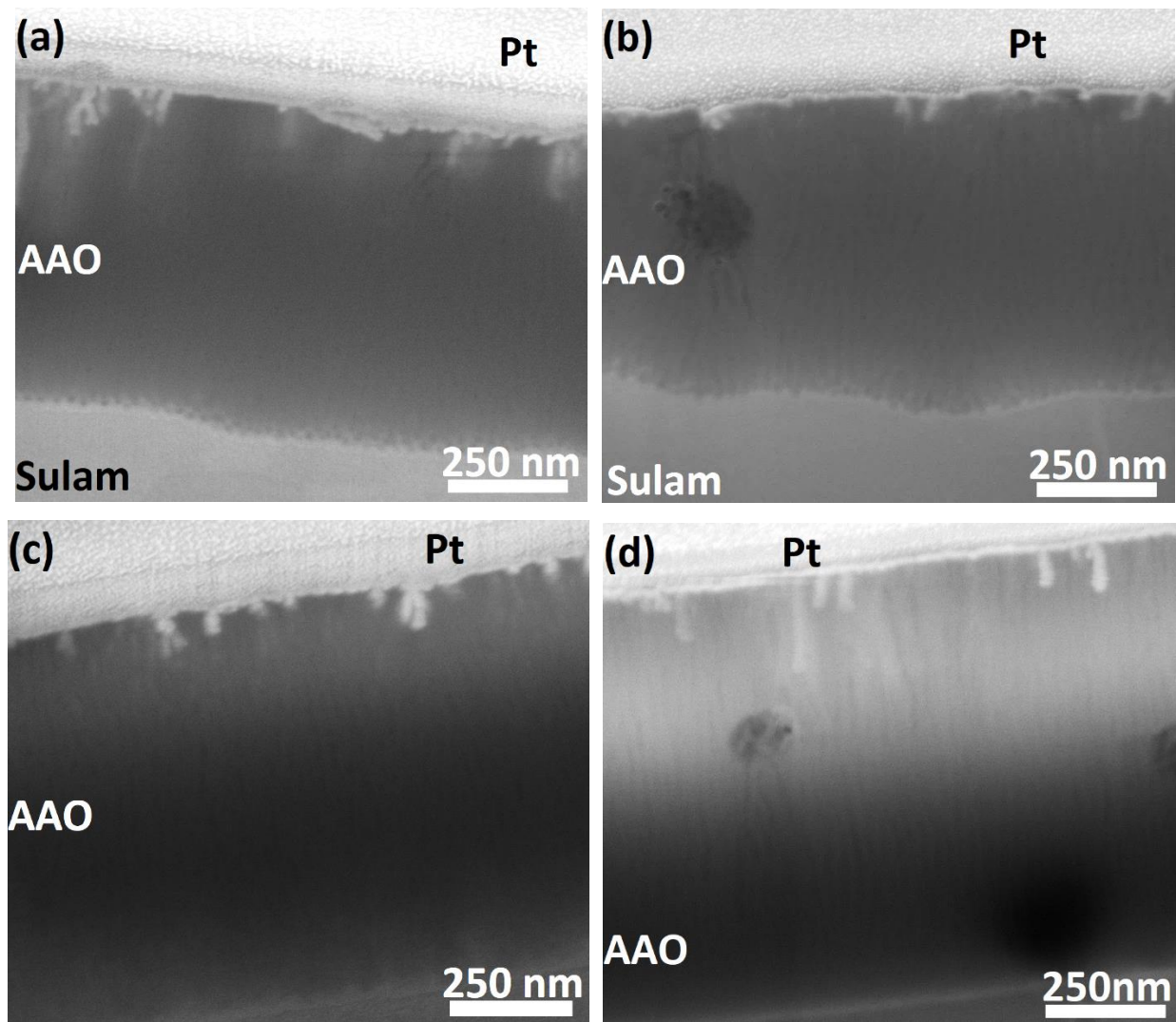
ZrO<sub>2</sub>-ga kaetud anodeeritud katete pinnauringud SEM-ga kinnitasid, et poorid on pealt poolt täielikult kaetud (Joonis 17b). 10 nm läbimõõduga poorid pole ZrO<sub>2</sub>-ga kaetud pinnal nähtavad (Joonis 17a).



**Joonis 17.** SEM pinnauringud anodeeritud (a) ja anodeeritud ning ZrO<sub>2</sub>-ga kaetud (b) katetest.

ALD abil ZrO<sub>2</sub>-ga täidetud ja kaetud AAO katete SEM-FIB uuringutest selgus, et ZrO<sub>2</sub> leidub poorides nii 'lühikeste' kui ka 'pikkade' pulsside kasutamisel (Joonis 18). Katmata AAO kihi ristlõikel pole kattes esinevad poorid nähtavad (Joonis 18a), kuid ALD abil täidetud ja kaetud katete ristlõigetel on poorid eristatavad (Joonis 18b–d). Poorid tulevad SEM-i piltidel esile, kui need on täidetud materjaliga, mille elektrilised omadused erinevad maatriksi omadest.

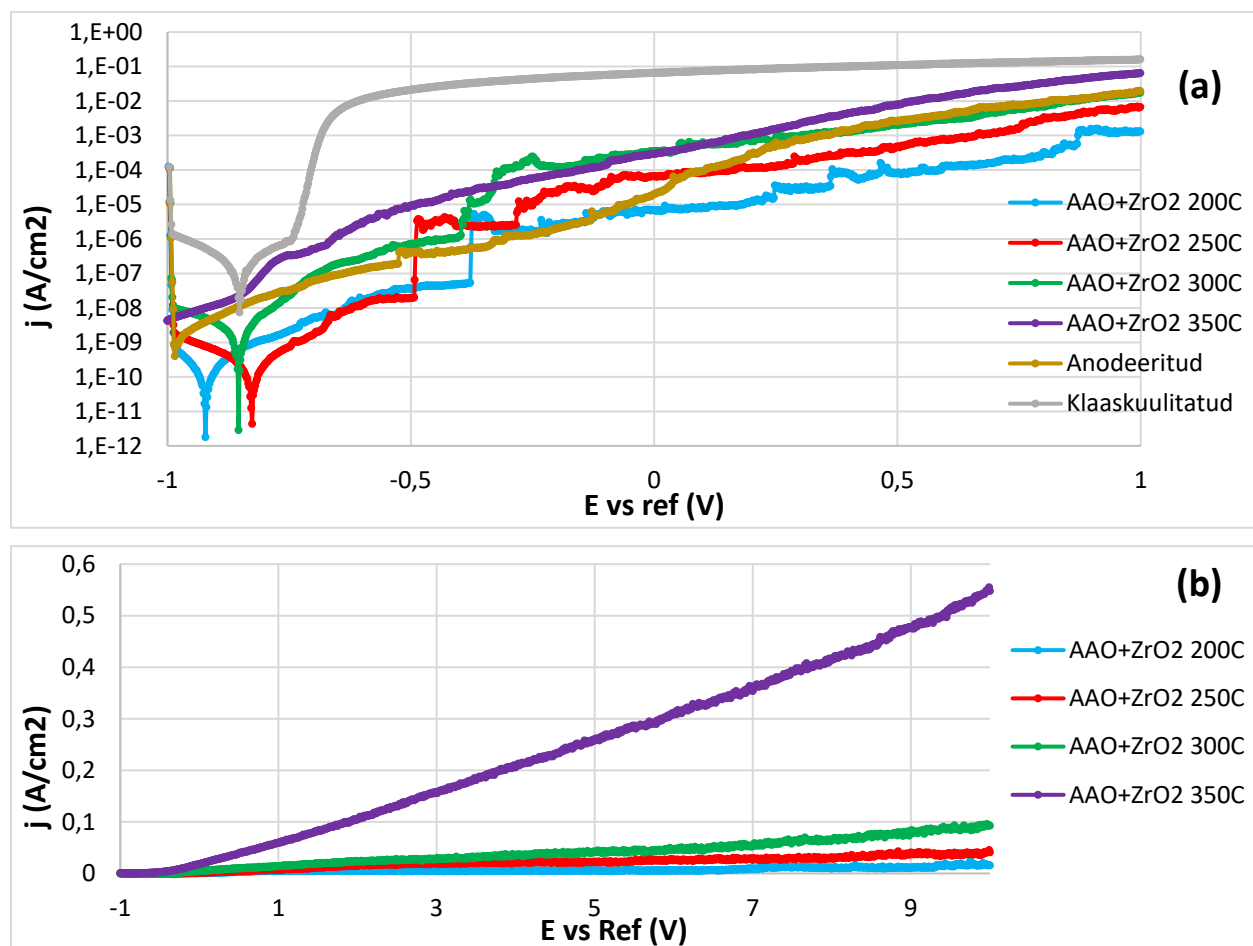
Katsekehade ristlõigetel on näha heledaid plaatinaga täidetud suuremaid poore pinnalähedases alas (Joonis 18). Ainult anodeeritud pinna ristlõikel esines neid täidetuid poore rohkem kui ALD abil kaetud katetes. See tähendab, et ZrO<sub>2</sub> ALD katab ka suuremaid poore ja takistab plaatina tungimist kattesse.



**Joonis 18.** SEM uuringud FIB-i abil tehtud ristlõigedest klaaskuulitatum ja anodeeritud katsekehast (a), klaaskuulitatum, anodeeritud ja ALD abil  $\text{ZrO}_2$ -ga täidetud 'lühikese' (b), 'keskmiste' (c) ja 'pikkade' (d) lähteainete pulsiaegadega  $300\text{ }^{\circ}\text{C}$  juures.

## 6.2.2 Nanostruktuursete katete kaitsevõime uurimine

Uuringud lineaarse voltamperomeetria (LSV) meetodil näitasid, et AAO kihi pooride täitmine ja pinna katmine ZrO<sub>2</sub> kihiga võimaldab tõsta katte korrosionikindlust (Joonis 19). Madalamatel temperatuuridel (200 ja 250 °C) aatomkihtsadestatud ZrO<sub>2</sub>-ga katteid läbib väiksem korrosionivool kui ainult anodeeritud pinda (Joonis 19a). Kõige anoodsem punktkorrosiooni potentsiaal on 200 °C juures ZrO<sub>2</sub>-ga kaetud AAO puhul, -378mV.

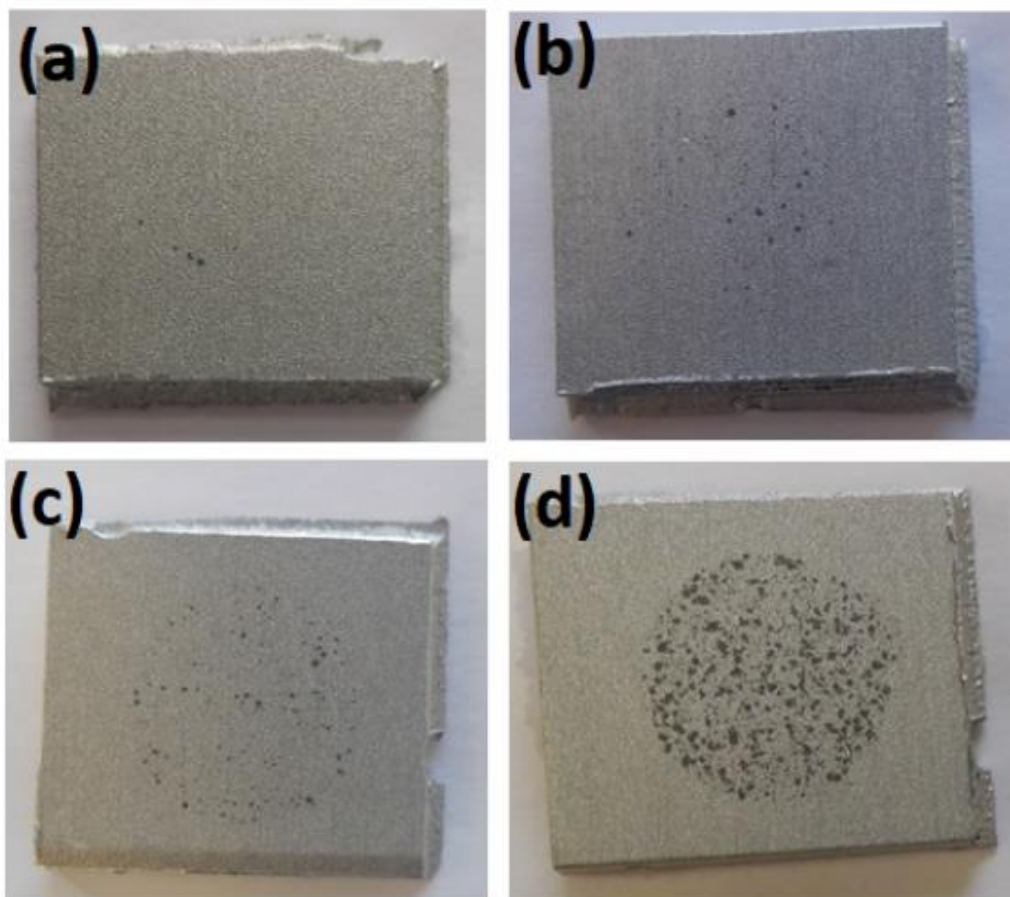


**Joonis 19.** Lineaarse voltamperomeetria test -1 kuni +1V proovidele, mis olid klaaskuulitatud (hall), klaaskuulitatud ja anodeeritud (pruun), klaaskuulitatud, anodeeritud ja seejärel ZrO<sub>2</sub>-ga täidetud ja kaetud 'pikkade' lähteaine pulssidega temperatuuri 200 (sinine), 250 (punane), 300 (roheline) ja 350 °C (lilla) juures (a). Lineaarse voltamperomeetria test -1 kuni +10 V eri temperatuuridel täidetud ja kaetud proovidele (b).

Siiski võib näha madalamatel temperatuuridel valmistatud katete korrosionivoolu kiiret tõusu anoodses alas, mis tähendab, et katetes tekkisid defektid, ning need suurenedesid ja neid tuli juurde potentsiaali anoodsemaks muutmisel.

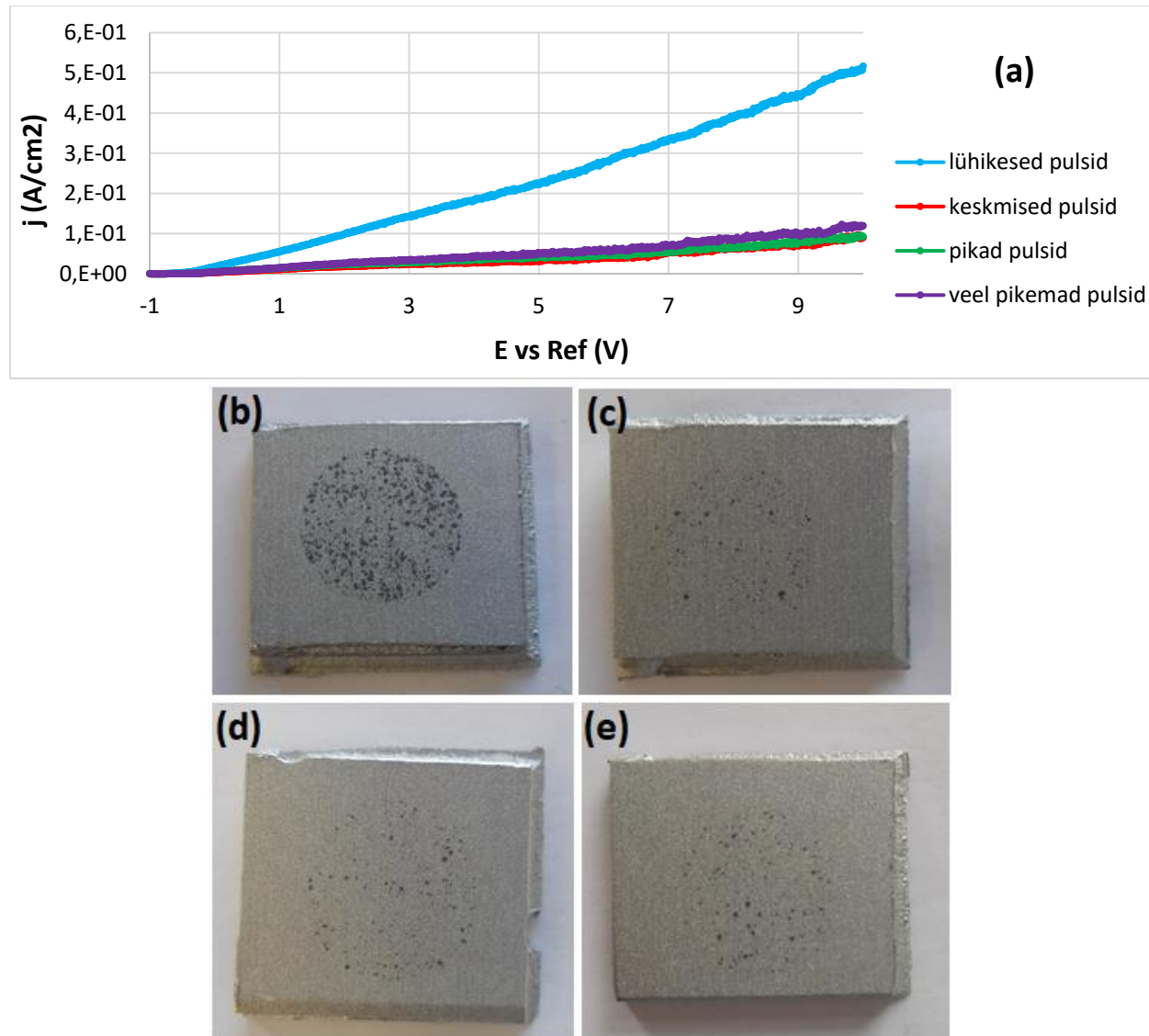
Mõõtmised LSV meetodil kuni 10 V näitasid, et mida kõrgemal temperatuuril  $\text{ZrO}_2$  on aatomkihtsadestatud, seda suurem korrosionivool katet läbib (Joonis 19b). Kuid ka siin kaitseb amorfne  $\text{ZrO}_2$  kiht kõige paremini sulamit korrosiooni eest.

Fotod katetest peale LSV testi kinnitavad samuti, et aatomkihtsadestuse temperatuuri tõstmine vähendab katte vastupidavust korrosionile (Joonis 20).  $350\text{ }^\circ\text{C}$  juures valmistatud kattes on palju defekte (Joonis 20d), samas kui  $200\text{ }^\circ\text{C}$  juures valmistatud kattes on näha üksikud punktkorrosiooni defektid (Joonis 20a).



**Joonis 20.** Fotod  $2 \times 2\text{ cm}^2$  katsekehade, mille pind oli klaaskuulitatud, anodeeritud ja ALD abil  $\text{ZrO}_2$ -ga kaetud 'pikkade' pulsipikkustega temperatuuridel  $200$  (a),  $250$  (b),  $300$  (c) ja  $350$  ( $d$ )  $^\circ\text{C}$ , peale LSV testi potentsiaalivahemikus  $-1 - +10\text{ V}$ . Testitud  $1\text{ cm}^2$  suurune ala katsekehade keskosas tagati spetsiaalse maskiga, nagu kirjeldatud alajaotuses 5.6.

LSV testid AAO katetele, mis olid täidetud  $\text{ZrO}_2$ -ga eri pulsipikkustega, näitasid, et 'lühikeste' pulsiaegadega valmistatud katte vastupidavus korrosioonile on halvem võrreldes pikemate pulssidega valmistatud katetel, millel olid sarnased voolutihedused (Joonis 21a). Fotod katsekehade pinnast peale testimist kinnitavad visuaalselt tulemusi, kus 'lühikeste' pulsiaegadega valmistatud katte on võrreldes teiste proovidega rohkem kahjustatud (Joonis 21b-e).

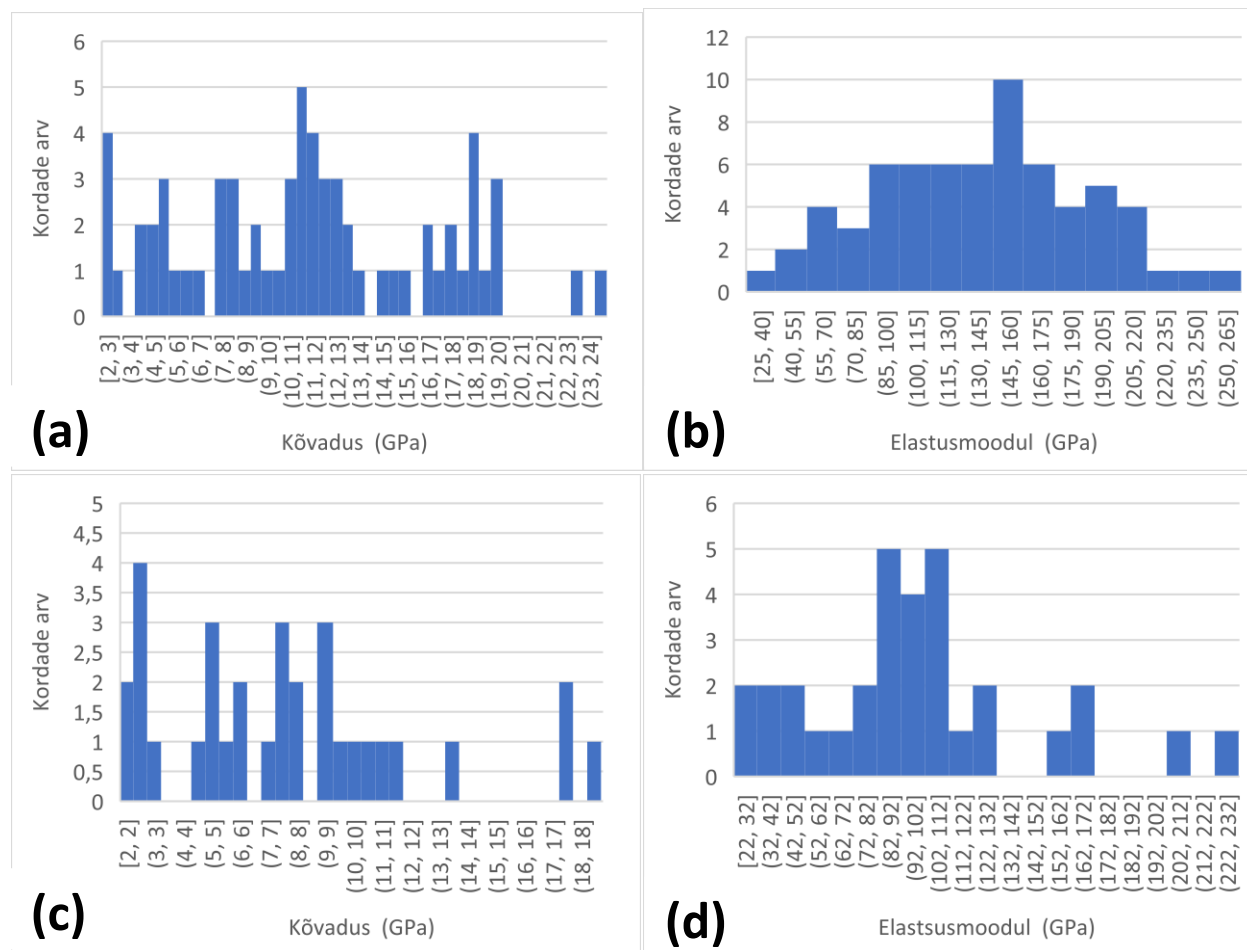


**Joonis 21.** LSV test -1 kuni +10 V sulamile AA6082, mis oli klaaskuulitud, anodeeritud ja  $\text{ZrO}_2$ -ga kaetud 'lühikeste' (sinine), 'keskmiste' (punane), 'pikkade' (roheline) ja 'veel pikemate' (lilla) lähteainete pulsipikkustega 300 °C juures (a). Fotod  $2 \times 2 \text{ cm}^2$  katsekehadest, mis olid klaaskuulitud, anodeeritud ja  $\text{ZrO}_2$ -ga kaetud 'lühikeste' (b), 'keskmiste' (c), 'pikkade' (d) ja 'veel pikemate' (e) lähteainete pulsiaegadega, peale lineaarset voltamperomeetria testi kuni +10V. Katseobjektide pindadele oli kantud mask, nii et ainult 1  $\text{cm}^2$  suurune ala osales testi protsessis.

### 6.2.3 Nanostruktuursete katete mehaanilised omadused

Nanotäkkimise uuringud näitasid, et 'lühikeste' pulssidega ZrO<sub>2</sub>-ga kaetud anodeeritud pinna keskmine kõvadus 100 nm täkkesügavusel on  $11,1 \pm 5,4$  GPa, elastsusmoodul  $139 \pm 50$  GPa (Joonis 22a–b).

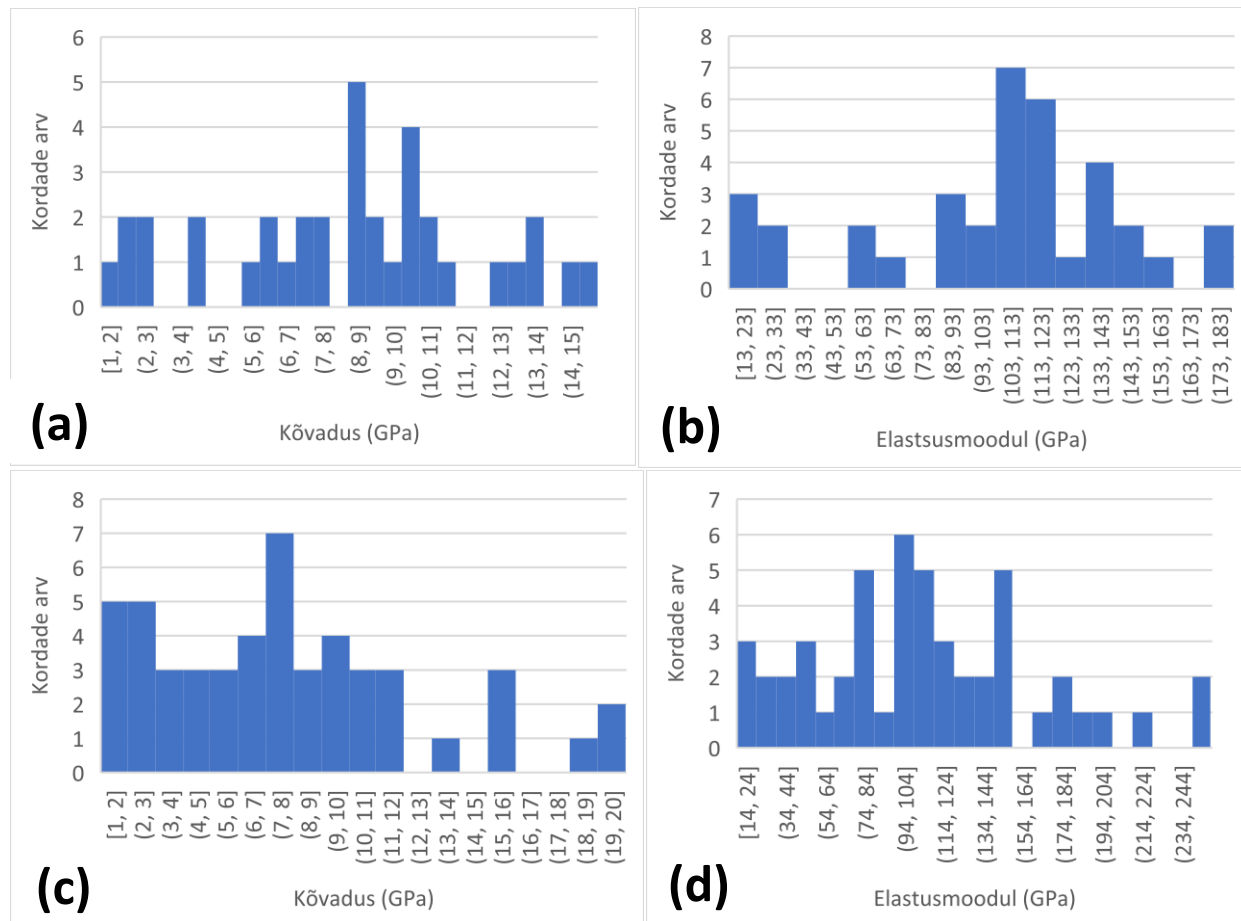
ALD pulsside pikenemine vähendas katte kõvadust ja elastsusmoodulit: 'keskmiste' pulssidega proovi korral oli kõvadus  $7,5 \pm 4,4$  GPa ja elastsusmoodul  $98 \pm 47$  GPa (Joonis 22c–d).



**Joonis 22.** Nanotäkkimise tulemused rakendade CSM meedotid kattele, mille AAO kihile aatomkihtsadestati ZrO<sub>2</sub>-kiht 'lühikeste' pulssidega: kõvaduse (a) ja elastsusmooduli (b) väärustuse jaotus sügavusel 100 nm. Ning samal kattel, mis valmistati 'keskmiste' pulssidega, vastavalt (c) ja (d).

'Pikkade' lähteainete pulssidega valmistatud katte keskmise kõvaduse ja elastsusmooduli 100 nm sügavusel oli vastavalt  $8,1 \pm 3,6$  ja  $102 \pm 42$  GPa (Joonis 23a ja b).

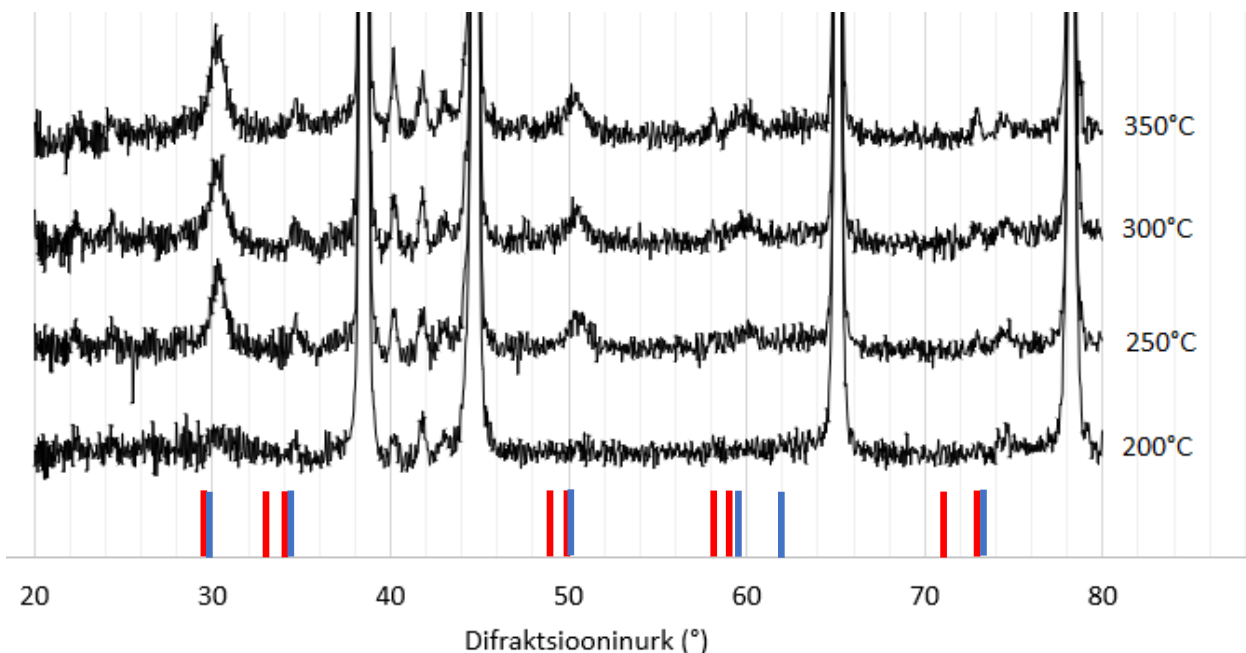
'Veel pikemate' lähteainete pulssidega valmistatud katte keskmise kõvaduse ja elastsusmooduli 100 nm sügavusel olid vastavalt  $7,8 \pm 4,7$  ja  $109 \pm 56$  GPa (Joonis 23c-d).



**Joonis 23.** Nanotäkkimise tulemused rakendade CSM meedotid kattele, mille AAO kihile aatomkihtsadestati  $\text{ZrO}_2$ -kiht 'pikemate' pulssidega: kõvaduse (a) ja elastsusmooduli (b) väärustuse jaotus sügavusel 100 nm. Ning samal kattel, mis valmistati 'veel pikemate' pulssidega, vastavalt (c) ja (d).

#### 6.2.4 Aatomkihtsadestuse temperatuuri mõju katete kristallilisusele

Joonisel 24 on toodud erinevatel kasvukambri temperatuuride juures  $\text{ZrO}_2$ -ga täidetud pooridega kattete difraktogrammid. Joonisele on punasega märgitud tetragonaalse faasi reflekside asukohad ja sinisega kuubilise faasi omad [85-86]. Ülejäänud refleksid kuuluvad sulamile (vt. Joonis 14). Uuringud näitasid, et  $200^{\circ}\text{C}$  juures aatomkihtsadestatud  $\text{ZrO}_2$  on amorfne. Kõrgematel temperatuuridel kasvatatud  $\text{ZrO}_2$  on tetragonaalses faasis ja kuubilist faasi leidub vähe, viimast kinnitab refleksi puudumine  $62^{\circ}$  juures. Samas võib arvata, et kuubiline struktuur siiski leidub, kuna refleksid  $30^{\circ}$ ,  $50^{\circ}$  ja  $60^{\circ}$  juures, mis kuuluvad mõlemale faasile, on suurema intensiivsusega, kui ainult tetragonaalse faasi esinemise korral. Samuti on  $50^{\circ}$  ja  $60^{\circ}$  refleksid rohkem kuubilise faasi poole nihkunud.



**Joonis 24.** Temperatuuridel  $200$ ,  $250$ ,  $300$  ja  $350^{\circ}\text{C}$  AAO aluskihile ALD abil 'pikkade' pulssidega sadestatud  $\text{ZrO}_2$  difraktogrammid, kus punasega on märgitud tetragonaalse ja sinisega kuubilise faasi refleksid.

## 7. Tulemuste analüüs

### 7.1 Tööstusliku eeltöötuse mõju sulami pinnale

Klaaskuulitamisel tekivad sulami pinnale lohud, sest klaaskuulid deformeerivad sulami pinda suure hooga sellele põrgates [24]. Sulamis leiduvad IMÜ ( $Mg_2Si$ , Al-(Fe,Mn)-Si, Al<sub>6</sub>(Fe,Mn)) pole plastsed nagu alumiinium maatriks ning klaaskuulitamisel võivad lahkuda pinnalt või liikuda sügavamate maatriksisse, mistõttu leidub pinnal neid vähem (Joonis 11). Ristlõikel joonisel 13a on näha, kuidas IMÜ tõttu jäi kattesse ka pärast anodeerimist mõra, mis vähendab anoodkihi korrosionikindlust. Mõra kaudu pääsevad korrodeerivad ühendid, näiteks Cl-oonid, sulami pinnani, kus asub suurem osake. Seal võib hakata kulgema punktkorrosioon, mille tulemusena söövitatakse osake välja ja protsess võib minna üle teradevaheliseks korrosioniks. See areneb sügavale detaili ning võib halvendada selle mehaanilisi omadusi [15]. Aga kuna klaaskuulitamisel väheneb pinnal leiduvate lisandifaaside hulk vörreldes lihvitud pinnaga (Joonised 10 ja 11), võiks klaaskuulitamisega saavutada vähemate defektidega anoodse katte [81]. Jooniselt 13 ja GIXRD mõõtmistest selgus, et peamine faas, mis võib tekitada defekte AAO kihti on Al-(Fe, Mn)-Si, mis anodeerimisel pinnalt ei lahku nagu seda teevad  $Mg_2Si$  ja Al<sub>6</sub>(Fe,Mn) sisestused.

Poleeritud sulami kõvadus oli 1 GPa, aga üksikutel mõõtmistel oli kõvadus kuni 13 GPa (Joonis 15a). Suurem kõvadus võib olla tingitud  $Mg_2Si$  (6 GPa) või Fe-faasidest [14]. Mõõtmisi võib mõjutada ka hoopis suur pinnakaredus (mõõtmine toimub kaldpinnal) ja/või mehaaniline pinnatöötlus.

Kirjanduse põhjal amorfsete AAO katete kõvadused jäävad tavaliselt vahemikku 2 – 5,5 GPa piiridesse [23]. Antud katte keskmine tulemus oli kõrgem, 6,7 GPa (Joonis 15c), mis võib olla tingitud täkke suuruse efekti tõttu. Kirjanduse andmed on saadud Vickersi meetodil, kus mõõdeti paksemaid kui 20  $\mu\text{m}$  katteid [23]. Vickersi meetodil kasutatakse suuremat teravikku ja jõudu, mistõttu nanotäkkimisel võib materjal tunduda kõvemana täkke suuruse efekti tõttu.

Elastsusmoodul oli enam vähem sarnane sulami pinnal ja anodeeritud proovil (Joonis 15b ja d). Sarnane elastsusmoodul aluse ja katte vahel on soovitud. Suure elastsusmooduli erinevuse puhul katte ja aluse vahel (alus on palju pehmem), tekivad kattesse kergemini mõrad, mis vähendab katte vastupidavust ja funktsionaalsust [87-89].

Korrosionitestides pidasid lihvitud ja klaaskuulitatud pind sarnaselt vastu (Joonis 16b ja c). Anodeerimine suurendab pinna korrosionikindlust takistades korrodeerivate ainete juurdepääsu sulami pinnani 1  $\mu\text{m}$  paksuse keerulise poorse struktuuri tõttu [21–23].

## **7.2 Tsirkooniumoksiidil põhinevad nanostruktuarsed katted**

### **7.2.1 Nanostruktuursete katete koostise sõltuvus sünteesi parameetritest**

ALD protsessis pulsi pikuste varieerimisega sooviti leida optimaalne pulsi pikkus, millega on võimalik AAO kihi poore täita. Antud AAO kihi pooride läbimõõt oli 10 nm (Joonis 17) ja kihi paksus oli ~1 µm (Joonised 13 ja 18). Poorid ei esine kattes vertikaalsetena, vaid kulgevad 3-mõõtmelises ruumis ebakorrapäraselt [21–23]. Seetõttu pooride täis kasvatamiseks ALD protsessis peab rakendama suhteliselt pikki pulsi aegu, et anda lähteainetele piisavalt aega pooride põhja difundeerumiseks [37-38]. Kui pulsiaeg on liiga lühike, kasvab materjali ainult poori ülemises otsas ning korgib poori ava kinni. Siledal räni alusel pulsi pikkuse muutus ei mõjuta kasvava ZrO<sub>2</sub> kile paksust [34-36].

Võrreldes 'lühikeste' ja 'keskmiste' pulsiaegadega saadud katete XRF analüüs tulemusi, näeme, et see langeb eeltoodud väidetega kokku: mõlemas kasvatuses kasvas ränile sama paks kile (vt. Tabel 7). Samas, pikema pulsi korral kasvas anodeeritud alusele 2 korda rohkem ZrO<sub>2</sub> kui lühemate pulsside korral. Aga kui pulsi aegu pikendati veelgi, suurennes Zr hulk ka ränil. Sellest võib järelleadata, et reaktsioonid ei olnud enam iseküllastuvad ja kulgesid edasi peale monokihi teket või reaktoris hakkasid kulgema teised reaktsioonid, mis sadestasid alusele rohkem materjali. Seda võis põhjustada liiga lühike puastus pulsi aeg, mille jooksul reaktorist ei eemaldatud täielikult lähteaine ja järgmise pulsi ajal tekkis keemiline aurufaasist sadestumine (CVD). Liiga pika vee pulsi korral võib sattuda liialt palju vett pooridesse ning puastuse pulsi ajal ei jõua poorid täielikult tühjeneda, mistõttu järgmise tsükli ajal toimub keemiline aurufaasist sadestus, millega alustele kasvab rohkem materjali. Selle kontrollimiseks viidi läbi lisa kasvatused, kus ZrCl<sub>4</sub> pulsi aeg oli 'veel pikem' ja vee pulsi aega vähendati. 'Lühikeste' vee pulsside korral leidus sulami kattes küll rohkem Zr kui 'keskmiste' pulsside korral, aga rohkem Zr leidus ka ränil (Tabel 7), mis tähendab, et lisareaktsioone ALD kambris tekitab ka liiga pikk ZrCl<sub>4</sub> pulss.

ZrCl<sub>4</sub> sai esialgu valitud Zr lähtematerjaliks selle molekuli väikese suuruse pärast. Eeldati, et seetõttu difundeerub see pooridesse hästi. Kloriidid aga võivad reageerida metalloksiididega, mis söövitab kilet ja tekitab kõrval produkte [90]. Kloriidide ja oksiidide reageerimisel tekivad oksükloriidid [90]. Protsess võib söövitada nii ZrO<sub>2</sub> kilet kui ka anoodset katet. Reaktoris võivad tekkida ka hürdoksükloriidid, mis aglomeeruvad ja adsorbeeruvad kasvupinnale [90]. Pooride täitmiseks ZrO<sub>2</sub>-ga võiks edaspidi proovida ZrCl<sub>4</sub> asemel ZyALDi ( $\text{Zr}(\text{C}_5\text{H}_5)(\text{N}(\text{CH}_3)_2)_3$ ), Zr(NMe<sub>2</sub>)<sub>4</sub> ja teisi lähteaineid [91-92].

SEM-FIB uuringutest selgus, et ka juba 'lühikeste' lähteainete pulsside kasutamisel ALD protsessis leidus ZrO<sub>2</sub> AAO kihil poorides (Joonis 18). Vaja on läbi viia täpsemad uuringud analüütilise läbivalgustava elektronmikroskoobiga, et näha, kas poorid on ka täielikult täidetud.

ALD protsessis temperatuuri varieerimisega prooviti kasvatada ZrO<sub>2</sub> tetragonaalses, võimalusel ka kuubilises faasis (Joonis 24). Katsekehade kristallilisuse sõltuvus temperatuurist on kooskõlas kirjandusega, kus alates 200°C hakkab ZrO<sub>2</sub> kasvama tetragonaalselt [41-42]. Kuubilist faasi esineb materjalis hästi vähe. Kuubilise ZrO<sub>2</sub> faasi tekke AAO-s võib soodustada selle Al-ga legeerimine, kui selline protsess leiaks aset AAO pinnale või selle nanopoorides [54].

ZrO<sub>2</sub>-kile kasvu ja kristallilisust võivad mõjutada ZrCl<sub>4</sub> poolt esile kutsutud söövitus protsessis tekkivad lisandid. Nimelt, sadestuste temperatuuriseerias, mis viidi läbi 'pikkade' pulssidega, tekkis räni alusele rohkem ZrO<sub>2</sub> materjali kui lühemate pulssidega, mis tõestab, et reaktoris ei toimunud puhas ALD protsess [90].

## 7.2.2 Nanostruktuursete katete kaitsevõime

Anoodse kihiga ZrO<sub>2</sub>-ga täitmine ja katmine suurendas katte korrosionikindlust, kui aatomkihtsadestamisel kasutati madalamaid kasvatuse temperatuure (Joonis 19a). Mida madalamat kasvatus temperatuuri kasutati, seda paremini pidasid katted LSV testis vastu (Joonised 19b, 20). Võib arvata, et barjääri omadusi mõjutab ZrO<sub>2</sub> kristallilisus, mille osakaal samuti suurennes temperatuuri tõusuga (Joonis 24). Polükristalses materjalis võivad kristalliitide vahelised piirpinnad suurendada materjalis korrosiooni tekitavate ainete difusiooni [93]. Amorfne kate, mis on 200°C juures kasvatatud, pakub paremat korrosionikaitset. Ka varasemates töödes on täheldatud, et kõrgemal temperatuuril kasvatatud ZrO<sub>2</sub> kile on väiksema vastupidavusega korrosionile kui madala-temperatuurne ZrO<sub>2</sub> [78]. Samuti võivad kõrgemal temperatuuril toimuda keemilised reaktsioonid ZrCl<sub>4</sub> ja oksiidide vahel, mis võib tekitada kattesse lisandeid, mis võivad vähendada selle tihedust ja keemilist inerttsust [90].

Eri pikkusega pulssidega kasvatatud katete korrosionikindlus varieerus vähe (Joonis 21). Pikemate pulssidega valmistatud kattel võivad olla paremad barjääri omadused, sest poorid on rohkem täidetud, mis takistab korrosiivsete ainete jõudmist sulamini. Liiga pikade pulsside välitel aga võisid kattesse tekkida lisandid, mis vähendasid selle tihedust ning ei suurenenud ka nende katete korrosionikindlus [90].

ALD-ga sadestatud ZrO<sub>2</sub> tõstis, kuid mitte tugevalt katete kõvadust ja elastsusmoodulit, võrreldes anodeerimisel saadud katte vastavate suurustega (Joonised 15, 22–23): 'lühikeste' pulsside korral oli katte keskmine kõvadus 11,1 GPa, 'pikkade' pulsside korral 8,1 GPa ja anodeeritud pinnal 6,7 5GPa. Pooride täitmise peaks suurendama materjali mehaanilist vastupidavust [44], aga 'pikkade' pulsside rakendamisel vähenes katte materjali kvaliteet ilmselt lisandite tekke tõttu. See võib seletada, miks 'pikkade' ja ka 'veel pikemate' pulssidega valmisatud katete kõvadus ja elastsusmoodul vähenesid võrreldes lühemate pulssidega kasvatatud katete vastavate suurustega.

## **8. Kokkuvõte**

Antud töös valmistati ja uuriti uudseid nanostruktuurseid kaitsekatteid alumiiniumsulamile AA6082, mis põhinevad anodeerimise ja aatomkihtsadestus meetoditel. Sulami pinda klaaskuulitati, anodeeriti madalal temperatuuril, et saavutada õhuke kuni 1 µm paksune anoodne oksiidikiht kiht, milles esinevad 10 nm läbimõõduga poorid. Seejärel prooviti poorid täita ja katta ZrO<sub>2</sub>-ga aatomkihtsadestusega. Lähteaineteks kasutati ZrCl<sub>4</sub> ja H<sub>2</sub>O. Varieeriti lähteainete pulsi pikkusi, et anoodse oksiidikihi poorid ZrO<sub>2</sub> abil kas korkida või täis kasvatada. Aatomkihtsadestamisel varieeriti ka kasvutemperatuuri 200 – 350 °C vahel, et saavutada ZrO<sub>2</sub> tetragonaalne või kuubiline kasv. Katete korrosionikindlust testiti lineaarse voltamperomeetria abil, kõvadus ja elastsusmoodul määratati nanotäkkimise meetodiga. Katete pindu ja fokuseeritud ioonkiirega tehtud ristlõikeid karakteriseeriti skaneeriva elektronmikroskoobiga. Sulami elemendiline koostis määratati lainedispersiivse röntgenfluorestsent spektroskoopia ning energiadispersiivse spektroskoopia meetoditega. Sulami ja kattete faasiline koostis määratati libiseva kiire röntgendifraktsioon analüüsiga.

SEM-FIB uuringud näitasid, et anoodse alumiiniummoksiidi poorides leidus ZrO<sub>2</sub> juba ka lühemate ALD pulsiaegade kasutamise puhul. XRF uuringutest selgus, et pulsi liigset pikenemisel võis toimuda hübriidne ALD-CVD protsess ja ei saadud kvaliteetset ZrO<sub>2</sub>, näiteks võisid toimuda reaktsioonid lähteaine ja oksiidkatte vahel, mis tekitasid tsirkooniummoksiidi sisse lisandeid. Pikemate pulssidega valmistatud nanostruktursed katted olid pehmemed kui lühemate pulssidega valmistatud kate, kuid samas olid need korrosionikindlamad.

ZrO<sub>2</sub>-ga täidetud ja kaetud anoodse katte korrosionikindlus paranes võrreldes ainult anodeeritud pinnaga, kui sadestus temperatuurid olid madalad, 200–250 °C. Libiseva kiire röntgendifraktsioon analüüs selgitas, et 200 °C juures kasvatatud materjal oli amorfne, kõrgemal temperatuuridel kasvas ZrO<sub>2</sub> tetragonaalses faasis. Korrosionitestides pidas amorfne kate kõige paremini vastu. Edasistes uuringutes võiks anoodse oksiidikihi pooride täitmiseks kasutada ZrCl<sub>4</sub> asemel teisi lähteaineid, mis pooride täis kasvatamiseks vajalike pikkade pulsside välitel oksiididega ei reageeriks. Pooride täitumise kindlaks tegemiseks tuleks viia läbi uuringud läbivalgustava elektronmikroskoopia meetodiga. Samuti on vaja määrata eri temperatuuridel aatomkihtsadestatud ZrO<sub>2</sub>-ga nanostruktuursete katete mehaanilised omadused.

## **9. Nanostructured protective coating for aluminium alloy AA6082**

In this work, new nanostructured protective coatings for aluminium alloy AA6082 were prepared and investigated. These coatings were fabricated by using anodizing for pre-treatment and atomic layer deposition (ALD) to seal the pores and coat the whole surface with ZrO<sub>2</sub>. The precursors in the ALD process were ZrCl<sub>4</sub> and H<sub>2</sub>O. Precursor pulse times were varied to cover and completely fill the pores in the anodic layer. The deposition temperature was also varied from 200 to 350 °C to deposit tetragonal or cubic ZrO<sub>2</sub>.

The corrosion resistance of the coatings was tested by linear sweep voltammetry, hardness and Young's modulus were determined by nanoindentation. The surfaces and made by a focused ion beam cross-sections of the coatings were characterized by scanning electron microscope. The elemental composition of the alloy was determined with wavelength dispersive X-ray fluorescence spectroscopy and energy dispersive X-ray spectroscopy. The phases in the alloy and coatings were determined with grazing incidence X-ray diffraction.

SEM-FIB analysis revealed that the pores in the anodic alumina layer were coated with ZrO<sub>2</sub> even with shorter ALD pulses. XRF analysis revealed that during the long pulse time ZrCl<sub>4</sub> might have reacted with oxides and produced impurities to the material. Coatings deposited with longer pulse times were more resistant to corrosion but softer than coatings made with shorter pulses.

Coatings with filled pores and covered surface made by ALD at 200–250 °C were more resistant to corrosion than only anodized surface. Grazing incidence XRD measurements showed that ZrO<sub>2</sub> grown at 200 °C was amorphous, at higher temperatures tetragonal ZrO<sub>2</sub> was grown. In corrosion tests, amorphous coating performed the best.

In the future research, alternative precursors to ZrCl<sub>4</sub> should be used to fill the pores of the anodic alumina and transmission electron microscopy should be used to determine if the pores were filled completely. The mechanical properties of nanostructured coatings fabricated at different deposition temperatures should also be determined.

## **10.Viited**

- [1] J.R. Davis, Alloying: Understanding the Basics. ASM International 2001 351-416.
- [2] Penta Precision Engineering Ltd, <https://www.pentaprecision.co.uk/services/aluminium-machining/6082-machining> [Kasutatud 29.30.2020]
- [3] Nedal Aluminium, ALLOY DATA SHEET EN AW-6082 [AlSi1MgMn].  
<https://www.nedal.com/wp-content/uploads/2016/11/Nedal-alloy-Datasheet-EN-AW-6082.pdf>  
[Kasutatud 29.03.2020]
- [4] Aalco Metals Limited, [http://www.aalco.co.uk/datasheets/Aluminium-Alloy\\_6082-T6~T651\\_148.ashx](http://www.aalco.co.uk/datasheets/Aluminium-Alloy_6082-T6~T651_148.ashx) [Kasutatud 29.03.2020]
- [5] Sub-SNS Precision Ltd, <https://sub-cncprecision.co.uk/aluminium/> [Kasutatud 29.03.2020]
- [6] Priit Kulu, Metalliõpetus, Tallinna Tehnikaülikooli Kirjastus, Tallinn 2005.
- [7] D.T.L. Alexander, A.L. Greer, Nucleation of the Al<sub>6</sub>(Fe,Mn)-to- $\alpha$ -Al-(Fe, Mn)-Si transformation in 3XXX aluminium alloys. II. Transformation in cast aluminium alloys. Philosophical Magazine 84 2004 3071-3083. <https://doi.org/10.1080/14786430410001701788>
- [8] Y. Liu, G. Huang, Y. Sun, L. Zhang, Z. Huang, J. Wang, C. Liu, Effect of Mn and Fe on the Formation of Fe- and Mn- Rich Intermetallics in Al-5Mg-Mn Alloys Solidified Under Near-Rapid Cooling. Materials 9 2016. <https://doi.org/10.3390/ma9020088>
- [9] T. Gao, K. Hu, L. Wang, B. Zhang, X. Liu, Morphological evolution and strengthening behavior of  $\alpha$ -Al(Fe,Mn)Si in Al-6Si-2Fe-xMn alloys. Results in Physics 7 2017 1051-1054.  
<https://doi.org/10.1016/j.rinp.2017.02.040>
- [10] Ö. Sürmen, M. Tarakci, Y. Gencer, S. Zeytin, Improvemnt of Heat Treatment Application of Aluminium Forged Parts. 18th International Metallurgy & Materials Congress 2016.  
<http://www1.metalurji.org.tr/immc2016/721.pdf> [Kasutatud 29.03.2020]
- [11] F. Armao, Aluminum Workshop: Achieving T6 designation for 6061. Practical Welding Today 2011. <https://www.thefabricator.com/article/aluminumwelding/achieving-t6-designation-for-6061> [Kasutatud 29.03.2020]
- [12] M. El-Shennawym Kh. Abdek-Aziz, A. A. Omar, Metallurgical and Mechanical Properties of Heat Treatable Aluminum Alloy AA6082 Weld. International Journal of Applied Engineering Research 12 2017 2832-2839.
- [13] Heat Treating of Aluminum Alloys. ASM Handbook, Volume 4: Heat Treating. ASM International 1991 841-879. DOI: 10.1361/asmhba0001205.

- [14] K. Kondoh, R. Tsuzuki, E. Yuasa, Tribological Properties of Magnesium Matrix Composites Alloys Dispersed woth Mg<sub>2</sub>Si Particles. The AZo Journal of Materials Online 2005. <https://www.azom.com/article.aspx?ArticleID=3059> [Kasutatud 29.03.2020]
- [15] J.R. Davis, Corrosion. Undererstanding the Basics. ASM International 2000. ISBN: 0-87170-641-5
- [16] C.N. Panagopoulos, E.P. Georgiou, A.G. Gavras, Corrosion and wear of 6082 aluminum alloy. Tribology International 42 2009 886-889. <https://doi.org/10.1016/j.triboint.2008.12.002>
- [17] H. Zhan, J.M.C. Mol, F. Hannour, L. Zhuang, H. Terryn, J.H.W. de Wit, The influence of copper content on intergranular corrosion of model AlMgSi(Cu) alloys. Materials and Corrosion 59 2008. <https://doi.org/10.1002/maco.200804110>
- [18] G. Svenningsen, J.E. Lein, A. Bjorgum, J.H. Nordlien, Y.Yu, K. Nisanciolgu, Effect of low copper content and heat treatment on intergranular corrosion of model AlMgSi alloys. Corrosion Science 48 2006 226-242. <https://doi.org/10.1016/j.corsci.2004.11.025>
- [19] W.J. Liang, P.A. Rometsch, L.F. Cao, N. Birbilis, General aspects related to the corrosion of 6xxx series aluminium alloys: Exploring the influence of Mg/Si ratio and Cu. Corrosion Science 76 2013 119-128. <https://doi.org/10.1016/j.corsci.2013.06.035>
- [20] C.M. Cotell, J.A. Sprague, and F.A. Smidt. Anodizing. ASM Handbook, Volume 5: Surface Engineering. ASM International 1994 482-493. DOI: 10.1361/asmhba0001281
- [21] M. Merisalu, Captain Corrosion Handbook of Anodizing First Edition. Tartu 2017.
- [22] A. M. M. Jani, D. Losic, N. H. Voelcker, Nanoporous anodic aluminium oxide: Advances in surface engineering and emerging applications. Progress in Materials Science 58 2013 636-704. <https://doi.org/10.1016/j.pmatsci.2013.01.002>
- [23] D.R. Gabe, Hard anodizing – What do we mean by hard? Metal Finishing 100 2002 52-58. [https://doi.org/10.1016/S0026-0576\(02\)80936-9](https://doi.org/10.1016/S0026-0576(02)80936-9)
- [24] J. Champaigne, Shot Peening Overview. Electronics Inc 2001. [www.shotpeener.com](http://www.shotpeener.com) [Kaustatud 17.04.2020]
- [25] T.E. Graedel, Corrosion Mechanisms for Aluminium Exposed to the Atmosphere. Journal of the Electrochemical Society 1366 1989.
- [26] S. Mori, F.R. Lamastra, S. Kaciulis, P. Soltani, G. Montesperelli, Low-temperature titania coatings for aluminium corrosion protection. Corrosion Engineering, Science and Technology 53 2018 44–53. <https://doi.org/10.1080/1478422X.2017.1376943>

- [27] A. Firouzi, C. Del Gaudio, F.R. Iamastra, G. Montesperelli, A. Bianco, Electrospun polymeric coatings on aluminum alloy as a straightforward approach for corrosion protection. Journal of Applied Polymer Science 132 2015. <https://doi.org/10.1002/app.41250>
- [28] D. Ravnikar, N. B. Dahotre, J. Grum, Laser coating of aluminum alloy EN AW 6082-T651 with TiB<sub>2</sub> and TiC: Microstructure and mechanical properties. Applied Surface Science 202 2013 914-922. <https://doi.org/10.1016/j.apsusc.2013.06.089>
- [29] A. Algahtani, E.R.I. Mahmoud, Erosion and corrosion resistance of plasma electrolytic oxidized 6082 aluminum alloy surface at low and high temperatures. Journal of Materials Research and Technology 8 2019 2699-2709. <https://doi.org/10.1016/j.jmrt.2019.02.017>
- [30] L. Dubourg, D. Ursescu, F. Hlawka, A. Cornet, Laser cladding of MMC coatings on aluminium substrate: influence of composition and microstructure on mechanical properties. Wear 258 2005 1745-1754. <https://doi.org/10.1016/j.wear.2004.12.010>
- [31] P. Borylo, K. Lukaszkowicz, M. Szindler, J. Kubacki, K. Balin, M. Basiaga, J. Szewczenko, Structure and properties of Al<sub>2</sub>O<sub>3</sub> thin films deposited by ALD process. Vacuum 131 2016 319-326. <https://doi.org/10.1016/j.vacuum.2016.07.013>
- [32] P.A. Radi, G.E. Testoni, R.S. Pessoa, H.S. Maciel, L.A. Rocha, L. Vieira, Tribocorrosion behavior of TiO<sub>2</sub>/Al<sub>2</sub>O<sub>3</sub> nanolaminate, Al<sub>2</sub>O<sub>3</sub> and TiO<sub>2</sub> thin films produced by atomic layer deposition. Surface and Coatings Technology 349 2018 1077-1082. <https://doi.org/10.1016/j.surfcoat.2018.06.036>
- [33] Z. Hsain, G. Zeng, N. C. Strandwitz, B.A. Krick, Wear behavior of annealed atomic layer deposited alumina. Wear 372 2017 139-144. <https://doi.org/10.1016/j.wear.2016.12.011>
- [34] T. Suntola, J. Antson, Method for producing compound thin films. Patent US4058430A 1974. <https://patents.google.com/patent/US4058430A/en>
- [35] R.W. Johnson, A. Hultqvist, S.F. Bent, A brief review of atomic layer deposition: from fundamentals to applications. Materials Today 14 2014 236-246. <https://doi.org/10.1016/j.mattod.2014.04.026>
- [36] J. Cai, X. Han, X. Wang, X. Meng, Atomic Layer Deposition of Two-Dimensional Layered Materials: Processes, Growth Mechanisms, and Characteristics. Matter 2 2020 587-630. <https://doi.org/10.1016/j.matt.2019.12.026>

- [37] J.W. Elam, D. Routkevitch, P.P. Mardilovich, S.M. George, Conformal Coating on Ultrahigh-Aspect-Ratio Nanopores of Anodic Alumina by Atomic Layer Deposition. American Chemical Society 15 2003 3507-3517. <https://doi.org/10.1021/cm0303080>
- [38] R.J. Narayan, S.P. Adiga, M.J. Pellin, L.A. Curtiss, A.J. Hryn, S. Stafslien, B. Chisholm, C.C. Shih, C.M. Shih, S.J. Lin, Y.Y. Su, C. Jin, J. Zhang, N.A. Monteiro-Riviere, J.W. Elam, Atomic layer deposition-based functionalization of materials for medical and environmental health applications. The Royal Society 368 2010 2033-2064. doi: [10.1098/rsta.2010.0011](https://doi.org/10.1098/rsta.2010.0011)
- [39] M. Juppo, A. Rahtu, M. Ritala, M. Leskelä, In Situ Mass Spectrometry Study on Surface Reaction in Atomic Layer Deposition of Al<sub>2</sub>O<sub>3</sub> Thin Films from Trimethylaluminum and Water. Langmuir 16 2000 4034-4039. <https://doi.org/10.1021/la991183+>
- [40] A. Rahtu, M. Ritala, Reaction mechanism studies on the zirconium chloride-water atomic layer deposition process. Journal of Materials Chemistry 12 2002 1484-1489.  
<https://doi.org/10.1039/B109846B>
- [41] G. Scarel, S. Ferrari, S. Spiga, C. Wiemer, G. Tallarida, M. Fanciulli, Effects of growth temperature on the properties of atomic layer deposition grown ZrO<sub>2</sub> films. Journal of Vacuum ja Technology 21 2003. <https://doi.org/10.1116/1.1564032>
- [42] K. Kukli, M. Ritala, J. Aarik, T. Uustare, M. Leskelä, Influence of growth temperature on properties of zirconium dioxide films grown by atomic layer deposition. Journal of Applied Physics 92 2002. <https://doi.org/10.1063/1.1493657>
- [43] V. Sammelselg, L. Aarik, M. Merisalu, Method of preparing corrosion resistant coatings. Patent WO2014102758A1 Eesti 2012. <https://patents.google.com/patent/WO2014102758A1/en>
- [44] H.M. Piirsoo, M. Merisalu, T. Jõgiaas, V. Sammelselg, Nanostruktuursete oksiidkatete kõvaduse määramine. bakalaureusetöö 2018 Tartu Ülikool.  
<https://dspace.ut.ee/handle/10062/62209>
- [45] AZO Materials, Zirconia – Properties and Applications.  
<https://www.azom.com/article.aspx?ArticleID=11082> [Kasutatud 29.03.2020]
- [46] Saint-Gobain ZirPro, Thermal Barrier Coatings.  
<https://www.zirpro.com/applications/zirconia-applications/thermal-barrier-coatings> [Kasutatud 29.03.2020]
- [47] X.Q Cao, R. Vassen, D. Stoever, Ceramic materials for thermal barrier coatings. Journal of the European Ceramic Society 24 2001 1-10. [https://doi.org/10.1016/S0955-2219\(03\)00129-8](https://doi.org/10.1016/S0955-2219(03)00129-8)

- [48] M. Ghatee, Electrical and Mechanical Properties of Zirconia Based Cubic/Tetragonal Composite Electrolytes Prepared by Solution Coating Method. *Fuel Cells* 18 2018.
- <https://doi.org/10.1002/fuce.201700038>
- [49] G.P. Cousland, Mechanical properties of zirconia, doped and undoped yttria-stabilized cubic zirconia from first-principles. *Journal of Physics and Chemistry of Solids* 122 2018 51-71.
- <https://doi.org/10.1016/j.jpcs.2018.06.003>
- [50] J. Eichler, U. Eisele, J. Rödel, Mechanical Properties of Monoclinic Zirconia. *Journal of the Americal Ceramic Society* 87 2004 1401-1403. <https://doi.org/10.1111/j.1151-2916.2004.tb07748.x>
- [51] B. Wojtowicz, W. Pyda, A. Labuz, Monoclinic zirconia sintered bodies prepared via two-step sintering and characterisation of selected mechanical properties. *Ceramics Silikaty* 57 2013 185-189.
- [52] Insaco Inc. Tetragonal Zirconia Polycrystal (TZP).
- <https://www.insaco.com/materials/zirconias/tzp> [Kasutatud 29.03.2020]
- [53] S. O. Koutayas, P. Koidis, J. R. Strub, Zirconia in dentistry: Part 1. Discovering the nature of an upcoming bioceramic. *The European Journal of Estehtic Dentistry* 4 2009.
- [54] G.T. Dahl, S. Döring, T. Krekeler, R. Janssen, M. Ritter, H. Weller, T. Vossmeyer, Alumina-Doped Zirconia Submicro-Particles: Synthesis, Thermal Stability, and Microstructural Characterization. *Material* 12 2019. doi:10.3390/ma12182856
- [55] P.F. Becher, F. Rose, Toughening Mechanismis in Ceramic Systems. *Materials Science and Technology*. Wiley-VCH Verlag GmbH and Co KGaA 2006.
- <https://doi.org/10.1002/9783527603978.mst0124>
- [56] Superior Technical Ceramics Corp. Zirconia Toughened Alumina (ZTA).
- <https://www.ceramics.net/ceramic-materials-solutions/zta> [Kasutatud 29.03.2020]
- [57] Morgan Advanced Materials, Zirconia Toughened Alumina.
- <http://www.morgantechicalceramics.com/en-gb/materials/alumina/zirconia-toughened-alumina/> [Kasutatud 29.03.2020]
- [58] M. Lee, X-ray diffraction for materials research: from fundamentals to applications. Appel Academic Press 2016.
- [59] Rigaku Corporation, <https://www.rigaku.com/techniques/x-ray-diffraction-xrd> [Kasutatud 29.03.2020]

- [60] M. Birkholz, Thin films analysis by X-ray scattering. Wiley-VCH 2006.
- [61] P. Brouwer, Theory of XRF. PANalytical B.V. 2010 Holland.  
<https://www.chem.purdue.edu/xray/docs/Theory%20of%20XRF.pdf>
- [62] Rigaku Corporation, <https://www.rigaku.com/techniques/x-ray-fluorescence-xrf> [Kasutatud 29.03.2020]
- [63] R. Schlotz, S. Uhlig, Introduction to X-ray Fluorescence Analysis (XRF). Bruker AXS GmbH 2000 Saksamaa.
- [64] Gamry Instruments, Getting Started with Electrochemical Corrosion Measurement.  
<https://www.gamry.com/application-notes/corrosion-coatings/basics-of-electrochemical-corrosion-measurements/> [Kasutatud 29.03.2020]
- [65] J. Wang, Analytical Electrochemistry. Wiley 2006.
- [66] P. Munk, Fundamentals of Electroanalytical Chemistry. Wiley, 2001.
- [67] J.X.J. Zhang, K. Hoshino, Molecular Sensors and Nanodevices (Second Edition), Electrical transducers: Electrochemical sensors and semiconductor molecular sensors. 2019.
- [68] Gamry Instruments, Potentiodynamic and Cyclic Polarization Scans.  
<https://www.gamry.com/application-notes/corrosion-coatings/potentiodynamic-cyclic-polarization/> [Kasutatud 29.03.2020]
- [69] E. McCafferty, Introduction to Corrosion Science. Springer 2010 New York. DOI 10.1007/978-1-4419-0455-3
- [70] Keysight Technologies, Continuous Stiffness Measurement (CSM) Option. 2014.
- [71] M. L. B. Palacio, B. Bhushan, Depth-sensing indentation of nanomaterials and nanostructures. Materials Characterization 78 2013 1-20.  
<https://doi.org/10.1016/j.matchar.2013.01.009>
- [72] W. C. Oliver, G. M. Pharr, Measurement of hardness and elastic modulus by instrumented indentation: Advances in understanding and refinements to methodology. Journal of Materials Research 19 2004 3-20. <https://doi.org/10.1557/jmr.2004.19.1.3>
- [73] J. Mencik, Uncertainties and Errors in Nanoindentation. Nanoindentation in Materials Science. InTech 2012. <http://dx.doi.org/10.5772/50002>
- [74] Y.V. Milman, A.A. Golubenko, S.N. Dub, Indentation size effect in nanohardness. Acta Materialia 59 2011 7480-7487. <https://doi.org/10.1016/j.actamat.2011.08.027>

[75] J.I. Goldstein, Scanning electron microscopy and x-ray microanalysis. Springer 2003 New York.

[76] J.A. Chandler, X-ray microanalysis in the electron microscope. Amsterdam 1977.

[77] Metal Finishings Ltd, <https://metalfinishingsltd.co.uk/articles/best-anodising-alloy/> [Kasutatud 21.04.2020]

[78] E. Aaviksoo, Aatomkihtsadestatud tsirkooniumdioksiidil põhinevad funktsionaalsed katted meditsiinilisele titaanile. magistritöö Tartu 2017.

[79] G. Wang, F. Men, C. Ding, P.K. chu, X. Liu, Microstructure, bioactivity and osteoblast behavior of monoclinic zirconia coating with nanostructures surface. Acta Biomaterialia 6 2010 990-1000. <https://doi.org/10.1016/j.actbio.2009.09.021>

[80] H. Mändar, T. Vajakas. AXES - a software toolbox in powder diffraction. Newsletter of the International Union of Crystallography, Commission on Powder Diffraction 20 1998 31-32.

[81] A.K. Mukhopadhyay, A.K. Sharma, Influence of Fe-bearing particles and nature of electrolyte on the hard anodizing behaviour of AA 7075 extrusion products. Surface and Coatings Technology 92 1997 212-220. [https://doi.org/10.1016/S0257-8972\(97\)00102-3](https://doi.org/10.1016/S0257-8972(97)00102-3)

[82] Materials Project, <https://materialsproject.org/materials/mp-134/> [Kasutatud 22.04.2020]

[83] T. Kajitani, M. Kubouchi, S. Kikuchi, K. Hayashi, T. Ueno, Y. Miyazaki, K. Yubuta, High-Performance p-type Magnesium Silicon Thermoelectrics. Journal of Electronic Materials 42 2013 1855-1863.

[84] P. Orozco-Gonzalez, M. Casrto-Roman, J. Lopez-Cuevas, A. Hernandez-Rodriguez, R. Muniz-Valdez, S. Luna-Alvarez, C. Ortiz-Cuellar, Effect of iron addition on the crystal structure of the  $\alpha$ -AlFeMnSi phase formed in the quaternary Al-Fe-Mn-Si system. Revista De Metalurgia 47 2011 453-461. DOI: [10.3989/revmetalm.1068](https://doi.org/10.3989/revmetalm.1068)

[85] Materials Project, <https://materialsproject.org/materials/mp-2574/> [Kasutatud 22.04.2020]

[86] Materials Project, <https://materialsproject.org/materials/mp-1565/> [Kasutatud 22.04.2020]

[87] L.B. Freund, S. Suresh, Thin Film Materials: Stress, Defect Formation and Surface Evolution. Cambridge University Press 2004 lk 288.

<https://doi.org/10.1017/CBO9780511754715>

[88] X. Huang, H. Kasem, H.F. Shang, T.M. Shao, I. Etsion, Experimental study of a potential weakening effect in spheres with thin hard coatings. Wear 296 2012 590-597.

<https://doi.org/10.1016/j.wear.2012.08.018>

[89] X. Huang, I. Etsion, T. Shao, Effects of elastic modulus mismatch between coating and substrate on the friction and wear properties of TiN and TiAlN coating systems. Wear 338 2015 54-61. <https://doi.org/10.1016/j.wear.2015.05.016>

[90] N. Pinna, M. Knez, Atomic Layer Deposition of Nanostructures Materials. Wiley-VCH Verlag GmbH and Co. KGaA 2012 lk 245.

[91] J. Niinistö, K. Kukli, M. Kariniemi, M. Ritala, M. Leskelä, N. Blasco, A. Pinchart, C. Lachaud, N. Laaroussi, Z. Wang, C. Dussarrat, Novel mixed alkylamido-cyclopentadienyl precursors for ALD of ZrO<sub>2</sub> thin films. Journal of Materials Chemistry 43 2008.

<https://doi.org/10.1039/B810922B>

[92] D.M. Hausmann, E. Kim, J. Becker, R.G. Gordon, Atomic Layer Deposition of Hafnium and Zirconium Oxides Using Metal Amide Precursors. Chemistry of Materials 14 2002 4350-4358. <https://doi.org/10.1021/cm020357x>

[93] R. Matero, M. Ritala, M. Leskelä, T. Salo, J. Aromaa, O. Forsen, Atomic layer deposited thin films for corrosion protection. Journal de Physique 9 1999.

<https://doi.org/10.1051/jp4:1999862>

## **Lihtlitsents lõputöö reproduutseerimiseks ja üldsusele kättesaadavaks tegemiseks**

Mina, Helle-Mai Piirsoo,

1. annan Tartu Ülikoolile tasuta loa (lihtlitsentsi) minu loodud teose „Nanostruktuurne kaitsekate alumiiniumsulamile AA6082“, mille juhendajad on MSc Maito Merisalu, PhD Taivo Jõgiaas ja prof. Väino Sammelselg, reproduutseerimiseks eesmärgiga seda säilitada, sealhulgas lisada digitaalarhiivi DSpace kuni autoriõiguse kehtivuse lõppemiseni.
2. Annan Tartu Ülikoolile loa teha punktis 1 nimetatud teos üldsusele kättesaadavaks Tartu Ülikooli veebikeskkonna, sealhulgas digitaalarhiivi DSpace kaudu Creative Commons litsentsiga CC BY NC ND 3.0, mis lubab autorile viidates teost reproduutseerida, levitada ja üldsusele suunata ning keelab luua tületatud teost ja kasutada teost ärieesmärgil, kuni autoriõiguse kehtivuse lõppemiseni.
3. Olen teadlik, et punktides 1 ja 2 nimetatud õigused jäädvad alles ka autorile.
4. Kinnitan, et lihtlitsentsi andmisega ei riku ma teiste isikute intellektuaalomandi ega isikuandmete kaitse õigusaktidest tulenevaid õigusi.

*Helle-Mai Piirsoo  
29.05.2020*